

การแปลงสำหรับทรงกลมของไนลสมบูรณ์ในพิกัดไอโซทรอปี

นางสาวกานกวรรณ ไทยรัตน์

ศูนย์วิทยทรัพยากร จุฬาลงกรณ์มหาวิทยาลัย

วิทยานิพนธ์นี้เป็นส่วนหนึ่งของการศึกษาตามหลักสูตรปริญญาวิทยาศาสตร์ด้วยวิธีการบันทึก

สาขาวิชาคณิตศาสตร์ ภาควิชาคณิตศาสตร์

คณะวิทยาศาสตร์ จุฬาลงกรณ์มหาวิทยาลัย

ปีการศึกษา 2553

ลิขสิทธิ์ของจุฬาลงกรณ์มหาวิทยาลัย

TRANSFORMATION FOR PERFECT FLUID SPHERES IN ISOTROPIC COORDINATES

Miss Kanokwan Thairatana

ศูนย์วิทยทรัพยากร
จุฬาลงกรณ์มหาวิทยาลัย

A Thesis Submitted in Partial Fulfillment of the Requirements
for the Degree of Master of Science Program in Mathematics

Department of Mathematics

Faculty of Science

Chulalongkorn University

Academic Year 2010

Copyright of Chulalongkorn University

หัวข้อวิทยานิพนธ์ การแปลงสำหรับทรงกลมของไอลสมบูรณ์ในพิกัดไอโซโทรปี
โดย นางสาวกนกวรรณ ไทยรัตน์
สาขาวิชา คณิตศาสตร์
อาจารย์ที่ปรึกษาวิทยานิพนธ์หลัก อาจารย์ ดร. เพชรอาภา บุญเสริม

คณบดีคณนาวิทยาศาสตร์ จุฬาลงกรณ์มหาวิทยาลัย อนุมัติให้นับวิทยานิพนธ์ฉบับนี้เป็นส่วนหนึ่ง
ของการศึกษาตามหลักสูตรปริญญามหาบัณฑิต

..... คณบดีคณนาวิทยาศาสตร์
(ศาสตราจารย์ ดร. สุพจน์ นารอนงบัว)

คณะกรรมการสอบวิทยานิพนธ์

..... ดร. ดร. ประธานกรรมการ
(ผู้ช่วยศาสตราจารย์ ดร. อనุสรณ์ ชนวีระยุทธ)

..... 69/2017/ก. อาจารย์ที่ปรึกษาวิทยานิพนธ์หลัก
(อาจารย์ ดร. เพชรอาภา บุญเสริม)

..... ดร. ดร. กรรมการ
(อาจารย์ ดร. รตินันท์ บุญเคลือบ)

..... ดร. ดร. กรรมการภายนอกมหาวิทยาลัย
(รองศาสตราจารย์ ดร. จักรชัย อัศวนันท์)

กนกรณ ไทยรัตน์ : การแปลงสำหรับทรงกลมของไอลสมบูรณ์ในพิกัดไอโซทรอปี.

(TRANSFORMATION FOR PERFECT FLUID SPHERES IN ISOTROPIC

COORDINATES) อ.ที่ปรึกษาวิทยานิพนธ์หลัก: อ.ดร.เพชรอาภา บุญเสริม 70 หน้า.

วิทยานิพนธ์เล่มนี้มีความเกี่ยวข้องกับทฤษฎีทางฟิสิกส์ที่ชี้ว่าทฤษฎีสัมพัทธภาพโดยใช้สมการสนำของไออนส์ไดน์ที่เกิดขึ้นในทฤษฎีนี้เป็นสมการสำคัญในการพัฒนาทฤษฎีบทสำหรับทรงกลมของไอลสมบูรณ์ในพิกัดไอโซทรอปี โดยแบ่งออกเป็นห้าบท ดังนี้ บทแรก กล่าวถึงสัมพัทธภาพพิเศษซึ่งเป็นการใช้หลักสัมพัทธภาพกับกรอบอ้างอิงเดียว โดยมีความเร็วแสงเป็นค่าคงที่และมีการแปลงเป็นแบบลอเรนซ์ ในบทที่สอง กล่าวถึงสัมพัทธภาพที่ว่าไปซึ่งสามารถใช้ได้กับกรอบอ้างอิงทั่วไปโดยมีแรงโน้มถ่วงเข้ามาเกี่ยวข้อง ในบทที่สาม กล่าวถึงลักษณะและคุณสมบัติของทรงกลมของไอลสมบูรณ์ ในบทที่สี่ กล่าวถึงทฤษฎีการแปลงสำหรับทรงกลมของไอลสมบูรณ์ของ BVW (Boonserm, Visser, and Weinfurtner) เราพิจารณาในพิกัดไอโซทรอปี โดยเราได้นำมาตริกของทรงกลมของไอลสมบูรณ์มาประยุกต์ให้จริงกับทฤษฎีบทของ BVW เพื่อพิจารณาเมตริกใหม่ที่เกิดขึ้น ทำให้เราสามารถจัดกลุ่มของทรงกลมของไอลสมบูรณ์จากผลการประยุกต์ทฤษฎีบทที่ 7 ของ BVW ออกได้เป็นสองกลุ่มคือ เมตริกสร้างได้และเมตริกสร้างไม่ได้ จากนั้นเราได้เสนอทฤษฎีบทสำหรับทรงกลมของไอลสมบูรณ์ในพิกัดไอโซทรอปี สำหรับทั้งหมดที่เป็นบทสรุป นอกจากนี้ในส่วนของภาคผนวกมีตัวอย่างของการประยุกต์ใช้ทฤษฎีบทโดยเราได้ใช้โปรแกรมทางคณิตศาสตร์ที่ชื่อว่า เมเบิล ช่วยในการคำนวณทำให้เราได้ผลลัพธ์ที่มีความถูกต้องมากยิ่งขึ้น

จุฬาลงกรณ์มหาวิทยาลัย

ภาควิชา.....คณิตศาสตร์.....ลายมือชื่อนิสิต.....นายภารกัน.....๒๕๖๔๒๓๙
สาขาวิชา.....คณิตศาสตร์.....ลายมือชื่อ อ.ที่ปรึกษาวิทยานิพนธ์หลัก. ดร.ธนกร พูนพิริยะ
ปีการศึกษา.....2553.....

5272205823 : MAJOR MATHEMATICS

KEYWORDS : GENERAL RELATIVITY / PERFECT FLUID SPHERES / ISOTROPIC COORDINATES / TRANSFORMATION THEOREMS

KANOKWAN THAIRATANA : TRANSFORMATION FOR PERFECT FLUID SPHERES IN ISOTROPIC COORDINATES. ADVISOR : PETARPA BOONSERM, Ph.D., 70 pp.

This thesis is about the theory of physics called theory of relativity. The Einstein field equations in this theory are important to develop theorems for perfect fluid spheres in isotropic coordinates. This thesis is divided into five chapters as follows: The first chapter discusses special relativity which use the principle of relativity and inertial reference frames where the speed of light is constant and the transformation of this relativity is Lorentzian transformation. In chapter 2, we discuss general relativity with both inertial and non-inertial reference frames used in the gravitational field. In chapter 3, we discuss the nature and some properties of perfect fluid spheres. In chapter 4, we present BVW's (Boonserm, Visser, and Weinfurtner) transformation for perfect fluid spheres in isotropic coordinates. We have the metrics of perfect fluid spheres applied with BVW's theorem consider if the new metrics happen. We can classify the perfect fluid spheres by using 7th BVW theorem into two groups that are seed and non-seed metrics. Then we proposed a modified theorem for perfect fluid spheres in isotropic coordinates. The last chapter contains conclusion and discussion. Moreover, the appendix consists of the examples of the results applied by 7th and 8th BVW transformation theorems. Finally, we have used the mathematical program, called Maple, for calculating and checking what we obtain to get the results accurately.

Department : Mathematics Student's Signature Kanokwan Thairatana
 Field of Study : Mathematics Advisor's Signature P. Petarpa
 Academic Year : 2010

กิตติกรรมประกาศ

ในการจัดทำวิทยานิพนธ์เล่มนี้ ขอขอบคุณอาจารย์ที่ปรึกษาวิทยานิพนธ์ อ.ดร. เพชรอภา บุญเสริม สำหรับคำแนะนำ คำปรึกษา ทั้งในเรื่องการเรียนและการทำงานวิจัย และเป็นผู้สนับสนุนให้ข้าพเจ้าจัดทำวิทยานิพนธ์ฉบับนี้ได้บรรจุสมบูรณ์

ขอขอบคุณ ศ.ดร. Matt Visser และ ดร. ณฤทธิ์ ปีภูกรัชต์ สำหรับคำแนะนำในส่วนของความถูกต้องและความเรียบร้อยของวิทยานิพนธ์ที่ทำให้วิทยานิพนธ์ฉบับนี้มีความสมบูรณ์ยิ่งขึ้น

ขอขอบคุณ คณะกรรมการสอบวิทยานิพนธ์ ผศ.ดร.อนุสรณ์ ชนวีระยุทธ อ.ดร. รตินันท์ บุญเคลือบ และ รศ.ดร.จักษ์ อัศวนันท์ สำหรับคำแนะนำและความคิดเห็นในการปรับปรุงวิทยานิพนธ์ฉบับนี้

นอกจากนี้ ขอขอบคุณผู้ร่วมงานของข้าพเจ้า นายพนิษ เสือวรรณศรี สำหรับความช่วยเหลือในการจัดทำวิทยานิพนธ์นี้ อีกทั้งเป็นผู้ติดตามข่าวสารในการจัดทำวิทยานิพนธ์อีกด้วย

ขอขอบคุณสถานศึกษา ภาควิชาคณิตศาสตร์ คณะวิทยาศาสตร์ จุฬาลงกรณ์มหาวิทยาลัย ที่เป็นสถานที่ให้ทั้งความรู้และประสบการณ์ที่มีค่าในการศึกษาปริญญาโทในครั้งนี้

สุดท้ายนี้ ขอขอบคุณครอบครัวของข้าพเจ้าและเพื่อน ๆ ทุกคน สำหรับการสนับสนุนและกำลังใจซึ่งเป็นแรงผลักดันให้ข้าพเจ้าจัดทำวิทยานิพนธ์เล่มนี้สำเร็จ

**คุณวิทยุทรพยากร
จุฬาลงกรณ์มหาวิทยาลัย**

สารบัญ

	หน้า
บทคัดย่อภาษาไทย.....	๑
บทคัดย่อภาษาอังกฤษ.....	๑
กิตติกรรมประกาศ.....	๙
สารบัญ.....	๙
สารบัญตาราง.....	๑๘
สารบัญภาพ.....	๔
 บทที่	
1 สัมพัทธภาพพิเศษ.....	1
1.1 เหตุการณ์.....	1
1.2 กรอบข้างอิ่ง.....	1
1.3 กรอบข้างอิ่งเฉียว.....	2
1.4 สมมติฐานของทฤษฎีสัมพัทธภาพพิเศษ.....	2
1.5 การหาระยะทางในปริภูมิเวลาอว拉斯.....	3
1.6 รายละเอียด.....	4
1.7 การแปลงพิกัดในปริภูมิเวลาอว拉斯.....	5
1.7.1 สัมพัทธภาพแบบกาลิเลโอ.....	5
1.7.2 การแปลงแบบกาลิเลโอ.....	6
1.7.3 การแปลงแบบลอเรนซ์.....	7
1.8 สัมพัทธภาพแห่งความพร้อมเพรียง.....	10
1.9 การยืดออกของเวลา.....	10
1.10 การทดสอบระยะทาง.....	11
2 สัมพัทธภาพทั่วไป.....	12
2.1 เทนเซอร์.....	12
2.2 แม่นิฟล์ด.....	13
2.3 ปริภูมิเวลาอว拉斯.....	13
2.4 สมการสนับสนุนของไอโน่สไตน์.....	15

บทที่	หน้า
3 ทรงกลมของไหลสมบูรณ์.....	18
3.1 ทรงกลม.....	18
3.2 กลศาสตร์ภาวะต่อเนื่อง.....	19
3.3 กลศาสตร์ของไหล.....	19
3.4 ของไหล.....	20
3.4.1 ความนีด.....	20
3.4.2 การนำความร้อน.....	20
3.4.3 สมบัติไอโซโทรปี.....	20
4 ทฤษฎีสำหรับทรงกลมของไหลสมบูรณ์ในพิกัดไอโซโทรปี.....	25
4.1 ทฤษฎีบทที่ 1.....	28
4.2 ทฤษฎีบทที่ 2.....	29
4.3 บทแทรก 3.....	31
4.4 บทแทรก 4.....	31
4.5 ทฤษฎีบทใหม่.....	37
4.5.1 ทฤษฎีบทที่ 5.....	37
5 สรุป.....	40
5.1 สัมพัทธภาพพิเศษ.....	40
5.2 สัมพัทธภาพทั่วไป.....	41
5.3 ทรงกลมของไหลสมบูรณ์.....	41
5.4 ทฤษฎีสำหรับทรงกลมของไหลสมบูรณ์ในพิกัดไอโซโทรปี.....	42
รายการอ้างอิง.....	44
ภาคผนวก.....	47
ภาคผนวก ก.....	48
ภาคผนวก ข.....	57
ประวัติผู้เขียนวิทยานิพนธ์.....	70

สารบัญตาราง

ตารางที่	หน้า
1 ตัวอย่างการประยุกต์ทฤษฎีบีบที่ 1 กับทรงกลมของไหลสมบูรณ์ในพิกัดไอโซทรอปี.....	32
2 ตัวอย่างการประยุกต์ทฤษฎีบีบที่ 2 กับทรงกลมของไหลสมบูรณ์ในพิกัดไอโซทรอปี.....	34
3 ตัวอย่างการประยุกต์บทแทรก 3 กับทรงกลมของไหลสมบูรณ์ในพิกัดไอโซทรอปี	36
4 ตัวอย่างการประยุกต์ทฤษฎีบีบที่ 5 กับทรงกลมของไหลสมบูรณ์ในพิกัดไอโซทรอปี.....	39

**ศูนย์วิทยทรัพยากร
จุฬาลงกรณ์มหาวิทยาลัย**

สารบัญภาพ

ภาพที่		หน้า
1	ภาพกรวยแสงซึ่งแบ่งออกได้เป็น 3 ส่วน คือ Time-like, Light-like และ Space-like.....	5
2	ภาพกรอบอ้างอิง S ที่อยู่นิ่งและกรอบอ้างอิง S' ที่เคลื่อนที่ด้วยความเร็ว v ...	6
3	ภาพกรอบอ้างอิง S' เคลื่อนที่ไปทาง $+x$ ด้วยความเร็ว v เทียบกับกรอบอ้างอิงกรอบอ้างอิง S	7
4	ลักษณะของทรงกลมสมบูรณ์ใน 3 มิติ.....	18
5	แบบจำลองของไฟลซึ่งแสดงถึงความต่อเนื่องและเปลี่ยนรูปไปตามภาชนะ.....	19
6	องค์ประกอบของแทนเชอร์ความเดินพลังงานที่มีค่าเป็นศูนย์สำหรับการไม่มีความหนึ่ด.....	21
7	องค์ประกอบของแทนเชอร์ความเดินพลังงานที่มีค่าเป็นศูนย์สำหรับการไม่นำความร้อน.....	21
8	องค์ประกอบของแทนเชอร์ความเดินพลังงานที่มีสมบัติไอโซทรอปี คือ องค์ประกอบบริภูมิในส่วนที่แยกแยะมุ่งจะมีค่าเท่ากัน.....	22
9	สัดส่วนของพิกัดต่าง ๆ ของทรงกลมของไฟลสมบูรณ์.....	26
10	ตัวอย่าง เมตริกสร้างได้ (Seed metric).....	34
11	ตัวอย่าง เมตริกสร้างไม่ได้ (Non-seed metric).....	34

ศูนย์วิทยทรัพยากร
จุฬาลงกรณ์มหาวิทยาลัย

บทที่ 1

สัมพัทธภาพพิเศษ (Special relativity)

ในปี ค.ศ. 1905 อัลเบิร์ต ไอน์สไตน์ ได้นำเสนอทฤษฎีสัมพัทธภาพพิเศษ ในบทความ เกี่ยวกับพลศาสตร์ไฟฟ้าของวัตถุที่เคลื่อนที่ (On the Electrodynamics of Moving Bodies) [29] โดยก่อนหน้านี้ หลักสัมพัทธภาพของการเคลื่อนที่ได้ถูกสำรวจไว้ว่าการเคลื่อนที่ด้วยความเร็วคงที่ ทั้งหมดเป็นการสัมพัทธ์และไม่มีสถานะของการหยุดนิ่งสัมบูรณ์และไม่สามารถนิยามได้ ต่อมา ไอน์สไตน์ได้สร้างทฤษฎีโดยรวมหลักสัมพัทธภาพของการเคลื่อนที่เข้ากับสมมติฐานที่ว่า ไม่ว่าผู้สังเกตจะอยู่ใน หรือเคลื่อนที่ เชิงเส้นด้วยความเร็วคงที่ ผู้สังเกตทุกคนวัดอัตราเร็วของแสงได้เท่ากัน เสมอ ทำให้ทฤษฎีสัมพัทธภาพพิเศษได้หักล้างแนวคิดของนิวตันในเรื่องของปริภูมิสัมบูรณ์และ เวลาสัมบูรณ์ โดยกล่าวว่า ระยะทางและเวลาจะขึ้นอยู่กับผู้สังเกตและเวลา กับปริภูมิจะมีความแตกต่างกันขึ้นอยู่กับผู้สังเกต แต่สำหรับในสามัญสำนึกทั่วไปและในการทดลองเมื่อความเร็วของวัตถุที่เคลื่อนที่น้อยมากเมื่อเทียบกับอัตราเร็วแสง ทฤษฎีสัมพัทธภาพพิเศษจะมีความสอดคล้องกับกลศาสตร์นิวตัน [7-11, 17]

สำหรับคำว่า “พิเศษ” ในทฤษฎีนี้มีที่มาจากการที่ประยุกต์หลักสัมพัทธภาพเข้ากับกรอบอ้างอิงที่เป็นกรอบอ้างอิงเดียวเท่านั้น โดยต่อมาในปี ค.ศ. 1915 ไอน์สไตน์ได้พัฒนาทฤษฎีสัมพัทธภาพทั่วไปโดยประยุกต์หลักสัมพัทธภาพให้ใช้ได้กับทุกรอบอ้างอิง [7-11, 17]

ก่อนที่เราจะศึกษาและทำความเข้าใจความหมายหรือหลักการของทฤษฎีสัมพัทธภาพพิเศษ เราจำเป็นต้องทำความรู้จักและเข้าใจความหมายของคำศัพท์ต่าง ๆ ซึ่งมีความสำคัญและเกี่ยวข้องกับเนื้อหาที่จะได้กล่าวต่อไป ดังนี้

1.1 เหตุการณ์ (Event)

เรา尼ยามว่า เหตุการณ์ คือ สิ่งที่เกิดขึ้น ณ ตำแหน่งหนึ่ง ที่เวลาหนึ่ง โดยมักสนใจเหตุการณ์ต่าง ๆ ที่เกิดขึ้น ว่าเกิดขึ้นที่ไหนและที่เวลาใด นั่นคือ เราต้องมีการเลือกรอบอ้างอิงโดยระบบอ้างอิงที่ต่างกันจะให้ค่าพิกัดและเวลาของเหตุการณ์เดียวกันต่างกัน สำหรับในทฤษฎีสัมพัทธภาพ เราจะเรียกรอบอ้างอิงนี้ว่า กรอบอ้างอิง [7-11, 17]

1.2 กรอบอ้างอิง (Frames of reference)

คำว่า กรอบอ้างอิง มีความเกี่ยวข้องกับการสังเกตการเคลื่อนที่ของวัตถุ โดยในการกล่าวว่าวัตถุหนึ่งมีการเคลื่อนที่นั่นหมายความว่าตำแหน่งของวัตถุนั้นเทียบกับวัตถุอื่นกำลังเปลี่ยนไป ดังนั้น เราจะไม่สามารถระบุตำแหน่งของวัตถุหนึ่ง ๆ ได้หากเราไม่ อ้างอิงถึงวัตถุอื่น นั่นคือ

จุดอ้างอิง นอกจากนี้เราต้องเลือกแกนอ้างอิงที่มีพิเศษและสเกลความยาวบันແກນนั้น ๆ เพื่อใช้ในการระบุพิกัดตำแหน่งของวัตถุ โดยเราจะเรียกระบบที่มีจุดอ้างอิงและระบบพิกัดแกนนี้ว่า ระบบพิกัดนอกจากการระบุตำแหน่งแล้ว เราจะต้องระบุว่าวัตถุอยู่ที่ตำแหน่งนั้น ๆ ณ เวลาใดด้วย ดังนั้นเราต้องมีชุดนาฬิกาที่มีคุณสมบัติเหมือนกันและตั้งเวลาตรงกันประจำอยู่ ณ ตำแหน่งต่าง ๆ เพื่อใช้จับเวลา สำหรับในทฤษฎีสัมพัทธภาพพิเศษ เราจะใช้กรอบอ้างอิงที่เรียกว่า “กรอบอ้างอิงเฉื่อย” [7, 10, 11, 17]

1.3 กรอบอ้างอิงเฉื่อย (Inertial frame)

กรอบอ้างอิงเฉื่อยคือกรอบอ้างอิงที่กฎการเคลื่อนที่ของนิวตันเป็นจริง นั่นหมายความว่า การสังเกตการเคลื่อนที่วัตถุในกรอบอ้างอิงเฉื่อยนี้ หากวัตถุถูกกระทำด้วยแรงสูตรีที่มีค่าเป็นศูนย์จะยังคงเคลื่อนที่ด้วยความเร็วคงตัว นั่นหมายความว่า วัตถุถูกภายในกรอบอ้างอิงเฉื่อยจะมีลักษณะดังนี้

- ถ้าวัตถุอยู่นิ่ง มันก็จะยังคงอยู่นิ่ง
- ถ้าวัตถุเคลื่อนที่ มันจะยังคงเคลื่อนที่ด้วยความเร็วคงที่

นอกจากนี้กรอบอ้างอิงที่เคลื่อนที่ด้วยความเร็วคงตัวเทียบกับกรอบอ้างอิงเฉื่อยจะถูกเรียกว่า เป็นกรอบอ้างอิงเฉื่อยด้วย แต่สำหรับกรอบอ้างอิงที่เคลื่อนที่ด้วยความเร็วไม่ใช่กรอบอ้างอิงเฉื่อย ซึ่งเราเรียกว่า กรอบอ้างอิงไม่เฉื่อย (Non-inertial frame) [7, 9-11, 17]

1.4 สมมติฐานของทฤษฎีสัมพัทธภาพพิเศษ

ไอ้นส์ไตน์ได้เสนอแนวคิดว่า กฎฟิสิกส์ในกรอบอ้างอิงเฉื่อยทั้งหมดจะต้องมีลักษณะเหมือนกัน หรือมีผลเท่ากันและแสงเดินทางในอวกาศด้วยความเร็วที่มีขนาดเท่ากันเสมอไม่ว่าจะวัดจากกรอบอ้างอิงใด เราจึงสรุปสมมติฐานของไอ้นส์ไตน์ออกเป็น 2 ข้อด้วยกันคือ

1. สมมติฐานข้อแรก (หลักสัมพัทธภาพอย่างพิเศษ) กฎทางฟิสิกส์ย่อมเหมือนกันในทุกกรอบอ้างอิงเฉื่อย นั่นคือ ไม่มีกรอบอ้างอิงพิเศษใด ๆ
2. สมมติฐานข้อที่สอง (ความไม่แปรเปลี่ยนของความเร็วแสง) อัตราเร็วของแสงในสูญญากาศเป็นค่าคงที่สากล ($c = 3 \times 10^8 \text{ m/s}$) ซึ่งไม่ขึ้นอยู่กับการเคลื่อนที่ของแหล่งกำเนิดแสงนั้น [7-11, 17]

หลังจากที่พิจารณาความเร็วแสงเป็นปริมาณที่ไม่เปลี่ยนแปลงในกรอบอ้างอิงทุกรอบ ทำให้ไอ้นส์ไตน์ได้นำปริภูมิ 3 มิติรวมเข้ากับเวลารวมกันเป็น “ปริภูมิเวลาอวกาศ (spacetime)” ซึ่ง

เป็นปริภูมิ 4 มิติ ดังนั้น เรายสามารถสร้างปริมาณทางคณิตศาสตร์นิยามเป็น เวกเตอร์-4 สำหรับ การอธิบายการที่เวลารวมเข้ากับปริภูมิ 3 มิติ [8]

1.5 การหาระยะทางในปริภูมิเวลาอวากาศ (spacetime distance)

เนื่องจากปริภูมิเวลาอวากาศเป็นปริภูมิ 4 มิติ โดยรวมเอาปริภูมิ 3 มิติ เข้ากับเวลา (1 มิติ)

เมื่อเราต้องการบ่งบอกถึงเหตุการณ์นั่น ๆ ที่เกิดขึ้น เรายสามารถเขียนได้ดังนี้

สำหรับเหตุการณ์ที่ 1 จะแทนด้วยสัญลักษณ์ E_1

$$E_1 = (ct_1, x_1, y_1, z_1) \quad (1.1)$$

โดยที่ ct_1 แสดงถึง ระยะทางที่แสงเดินทางดึงจุดเกิดเหตุการณ์ที่ 1 คือ ระยะห่างจากผู้สังเกตถึงเหตุการณ์ที่ 1

และสำหรับเหตุการณ์ที่ 2 จะแทนด้วยสัญลักษณ์ E_2

$$E_2 = (ct_2, x_2, y_2, z_2) \quad (1.2)$$

เมื่อไอน์สไตน์ได้ยืนหลักที่ว่าแสงเดินทางด้วยความเร็วคงที่สูงสุดในเอกภพและเป็นลิ๊งค์ที่เกี่ยวข้องกับการวัด นั่นคือ เรายสามารถมองว่าถ้าจะหาปริมาณคงสภาพ (invariant) ที่วัดระยะห่างในปริภูมิเวลาอวากาศ ซึ่งเราเรียกว่า ช่วงปริภูมิเวลาอวากาศ (spacetime interval) ซึ่งก็คือ ระยะทางในปริภูมิเวลาอวากาศ (spacetime distance) ระหว่าง 2 เหตุการณ์ จะเขียนด้วย

$$(\Delta S)^2 = -(ct_2 - ct_1)^2 + (x_2 - x_1)^2 + (y_2 - y_1)^2 + (z_2 - z_1)^2 \quad (1.3)$$

ในที่นี่จะใช้ $c = 1$ ซึ่งเป็นหน่วยครमชาติ และมองในรูปของอนุพันธ์ทำให้สามารถเขียนสมการข้างบนได้ ดังนี้

$$(\Delta S)^2 \rightarrow ds^2 = -dt^2 + dx^2 + dy^2 + dz^2 \quad (1.4)$$

เนื่องจากค่า ds^2 เป็นปริมาณคงสภาพ ซึ่งโดยแท้จริงแล้วคือเรียกของ ds^2 คือ spacetime interval squared แต่ตามหลักสากล เรา maggic เรียกว่า เมตริก (metric) และปริมาณนี้สามารถเขียนในรูปของ เมตริกเทนเซอร์ (metric tensor) ได้ ดังนี้

$$ds^2 = \sum_{\mu, \nu=0}^3 \eta_{\mu\nu} dx^\nu dx^\nu \quad (1.5)$$

และถ้าใช้ข้อตกลงในการรวมของไอน์สไตน์ (Einstein summation convention) จะได้ว่า

$$ds^2 = \eta_{\mu\nu} dx^\nu dx^\nu \quad (1.6)$$

โดยที่

$$\eta_{\mu\nu} = \begin{pmatrix} -1 & 0 & 0 & 0 \\ 0 & 1 & 0 & 0 \\ 0 & 0 & 1 & 0 \\ 0 & 0 & 0 & 1 \end{pmatrix} \quad (1.7)$$

สำหรับสมการที่ (1.4) นั้นคือ

$$ds^2 = -dt^2 + dx^2 + dy^2 + dz^2$$

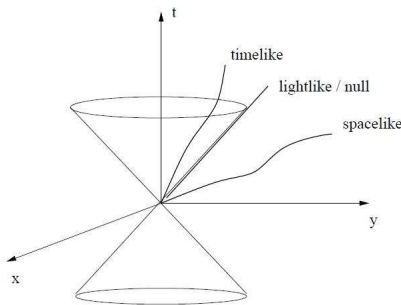
จะพบว่าเมื่อเราเขียน $ds^2 = 0$ จะได้ว่าเราเดินทางด้วยความเร็วแสง เนื่องจากความแตกต่างระหว่างช่วงห่างเป็นศูนย์ และถ้าเราเดินทางด้วยความเร็วน้อยกว่าแสง เราจะได้ $ds^2 < 0$ และถ้าความเร็วมากกว่าแสง เราจะได้ $ds^2 > 0$

1.6 กรวยแสง (Light cone)

เมื่อเรามีเมตริกแล้ว เราสามารถทราบเวลากลิตของปริภูมิเวลาอว拉斯ได้ นั่นคือสามารถหาได้ว่าปริภูมิเวลาอว拉斯มีความโค้งหรือแบนราบ โดยเรามีนิยามสำหรับ ds^2 ดังต่อไปนี้

$ds^2 > 0$	spacelike interval
$ds^2 = 0$	lightlike (null) interval
$ds^2 < 0$	timelike interval

มีความหมายต่อไปนี้



ภาพที่ 1: ภาพกรวยแสงซึ่งแบ่งออกได้เป็น 3 ส่วน คือ Time-like, Light-like และ Space-like [8]

- Space-like curve ($ds^2 > 0$) เป็นบริเวณที่มีความเร็วมากกว่าแสง
- Light-like curve ($ds^2 = 0$) ประกอบด้วยจุดหรือตำแหน่งที่มีความเร็วเท่ากับแสง ประกอบกันเป็นรูปทรงกรวยซึ่งแบ่งออกเป็น 2 ส่วน คือ อนาคตและอดีต
- Time-like curve ($ds^2 < 0$) เป็นบริเวณที่มีความเร็วน้อยกว่าแสง
เรามี 3 กรณีตามนิยามของ ds^2 กล่าวไว้ว่าแสงจะเดินทางบนกรวยแสงที่ทำมุม 45 องศา กับแกนของมิติปริภูมิ ไม่มีกัณฑุ์ใดที่สามารถเดินทางออกนอกกรวยแสงได้นอกจากวัตถุนั้นจะเดินทางได้เร็วกว่าแสง [8]

1.7 การแปลงพิกัดในปริภูมิเวลาอว拉斯

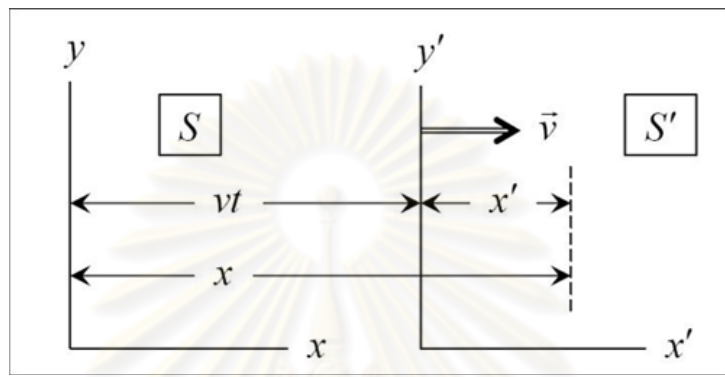
1.7.1 สัมพัทธภาพแบบกาลิเลโอ (Galilean relativity)

สัมพัทธภาพแบบกาลิเลโอ กล่าวว่า “กฎทางฟิสิกส์จะเหมือนกันสำหรับผู้สังเกต 2 คนที่เคลื่อนที่สัมพันธ์กันด้วยความเร็วคงที่” ซึ่งรวมถึงในกลศาสตร์ของนิวตันด้วย เราจะถือว่าเวลาจะมีค่าเท่ากันและเดินด้วยอัตราที่เท่ากันสำหรับทุกๆ ผู้สังเกต ซึ่งเราอาจบอกว่า เวลาเป็นสิ่งสมบูรณ์ ไม่ใช่เป็นสิ่งสัมพัทธ์ แต่เมื่อเราพิจารณาทฤษฎีสัมพัทธภาพของไอโอน์สไตน์ ความสมบูรณ์ของเวลาจะเปลี่ยนไป

หลักสัมพัทธภาพของกาลิเลโอ กล่าวถึงผู้สังเกต 2 คน ซึ่งเคลื่อนที่สัมพันธ์กันด้วย ความเร็วคงที่ ผู้สังเกตแต่ละคนจะอธิบายกฎทางฟิสิกส์ในกรอบอ้างอิงของตัวเอง โดยเราอาจจะให้ผู้สังเกตคนแรกอยู่ในกรอบอ้างอิง S และใช้ พิกัด (t, x, y, z) ผู้สังเกตคนที่สอง อยู่ในกรอบอ้างอิง S' และใช้ พิกัด (t', x', y', z') โดยหลักสัมพัทธภาพของกาลิเลโอกล่าวว่ากฎทางฟิสิกส์ จะเหมือนกันไม่ว่าจะใช้กรอบอ้างอิงแบบใดก็ตาม [7-11, 17]

1.7.2 การแปลงแบบกาลิเลโอ (Galilean transformation)

เราจะศึกษาความสัมพันธ์ทางคณิตศาสตร์ที่เขื่อมโยงระหว่างพิกัดของกรอบอ้างอิงเดียวกัน แต่ละกรอบ พิจารณาผู้สังเกตสองคนในกรอบอ้างอิง S และ S' ตามลำดับ กำหนดให้กรอบ อ้างอิง S' เคลื่อนที่ด้วยอัตราเร็ว v เทียบกับกรอบอ้างอิง S ตามแนวแกน x (อาจมองว่ากรอบ S อยู่นิ่ง)



ภาพที่ 2: ภาพกรอบอ้างอิง S ที่อยู่นิ่งและกรอบอ้างอิง S' ที่เคลื่อนที่ด้วยความเร็ว v

[4, 7-9, 11, 17]

จากภาพข้างบนความสัมพันธ์ระหว่างพิกัด (t, x, y, z) และ (t', x', y', z') สามารถหาได้จาก

$$\left. \begin{array}{l} t = t' \\ x = x' + vt \\ y = y' \\ z = z' \end{array} \right\} \quad (1.8)$$

ซึ่งเราเรียกความสัมพันธ์ดังกล่าวว่า “การแปลงแบบกาลิเลโอ”

จากความสัมพันธ์ดังกล่าว เราจะได้วิธีทางที่เปลี่ยนแปลงไป ดังนี้

$$\left. \begin{array}{l} \Delta t' = \Delta t \\ \Delta x' = \Delta x - v \Delta t \\ \Delta y' = \Delta y \\ \Delta z' = \Delta z \end{array} \right\} \quad (1.9)$$

สำหรับสัมพัทธภาพแบบกาลิเลโอ “เวลาเป็นสิ่งสมบูรณ์” นั่นคือ

$$t = t' \quad (1.10)$$

ดังนั้นความเร็วแต่ละพิกัด คือ

$$\left. \begin{aligned} \frac{dx'}{dt} &= \frac{dx}{dt} - v \\ \frac{dy'}{dt} &= \frac{dy}{dt} \\ \frac{dz'}{dt} &= \frac{dz}{dt} \end{aligned} \right\} \quad (1.11)$$

หรือ

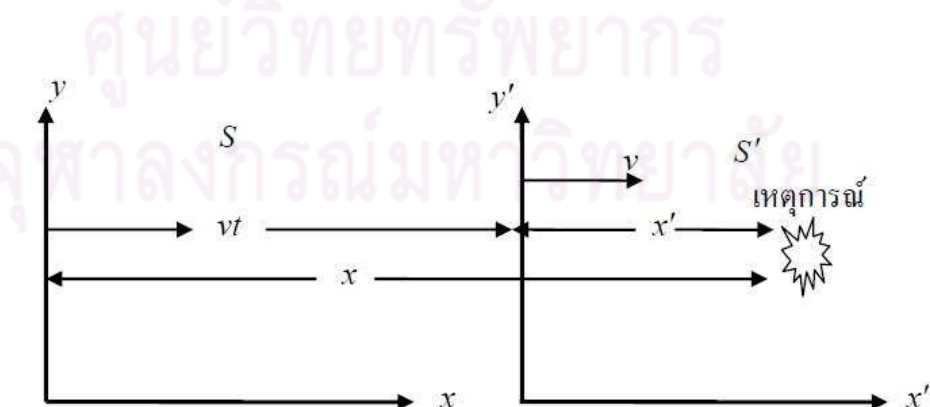
$$\left. \begin{aligned} u_x &= u'_x + v \\ u_y &= u'_y \\ u_z &= u'_z \end{aligned} \right\} \quad (1.12)$$

ทั้งหมดนี้คือความเร็วสัมพัทธ์ตามแนวแกน x , y และ z ตามลำดับ [7-11, 17]

1.7.3 การแปลงแบบลอเรนซ์ (Lorentz transformation)

เนื่องจากผลของการที่อัตราเร็วของแสงคงที่สำหรับทุกผู้สังเกตทำให้เวลาเป็นสิ่งสัมพัทธ์ และขึ้นกับผู้สังเกต โดยที่ พิกัดของผู้สังเกตในกรอบอ้างอิงเดียวกันต่างๆ ไม่ได้สัมพันธ์กันผ่านการแปลงแบบการลีเลโอลีกต่อไป

เอนดริก อันตอน ลอเรนซ์ (Hendrik Antoon Lorentz) นักฟิสิกษาดัตช์ ได้ค้นพบความสัมพันธ์นี้ เราจึงเรียกความสัมพันธ์ระหว่างพิกัด (t, x, y, z) กับ (t', x', y', z') นี้ว่า “การแปลงแบบลอเรนซ์”



ภาพที่ 3: ภาพกรอบอ้างอิง S' เคลื่อนที่ไปทาง $+x$ ด้วยความเร็ว v เทียบกับกรอบอ้างอิงกรอบอ้างอิง S [4, 7-9, 11, 17]

สำหรับผู้สังเกตในกรอบอ้างอิง S ซึ่งใช้พิกัด (t, x, y, z) และผู้สังเกตในกรอบอ้างอิง S' ซึ่งกำลังเคลื่อนที่ด้วยอัตราเร็ว v ไปในทิศทาง $+x$ เทียบกับผู้สังเกตในกรอบอ้างอิง S ทำ
แปลงผลuren ซึ่งเข้มความสัมพันธ์ระหว่างพิกัด (t, x, y, z) กับ (t', x', y', z') สามารถเขียนได้
เป็น

$$\left. \begin{array}{l} t = \gamma \left(t' + \frac{\beta x'}{c} \right) \\ x = \gamma (x' + vt') \\ y = y' \\ z = z' \end{array} \right\} \quad (1.13)$$

หรือเราสามารถที่จะเขียนพิกัด (t', x', y', z') ในรูปของ (t, x, y, z) ได้เป็น

$$\left. \begin{array}{l} t' = \gamma \left(t - \frac{\beta x}{c} \right) \\ x' = \gamma (x - vt) \\ y' = y \\ z' = z \end{array} \right\} \quad (1.14)$$

โดยที่สัญลักษณ์แกรมมา (γ) ใช้เพื่อแทน ตัวประกอบผลuren (Lorentz factor) ซึ่งนิยามโดย

$$\gamma = \frac{1}{\sqrt{1 - \beta^2}} \quad (1.15)$$

และสัญลักษณ์ เปต้า (β) ใช้แทนค่า Rapidity ซึ่งเป็นอัตราส่วนระหว่างอัตราเร็วของกรอบอ้างอิง S' กับอัตราเร็วแสง

$$\beta = \frac{v}{c} \quad (1.16)$$

การรวมความเร็วในทฤษฎีสัมพัทธภาพพิเศษ

จากการแปลงแบบผลuren

$$\left. \begin{array}{l} t = \gamma \left(t' + \frac{\beta x'}{c} \right) \\ x = \gamma (x' + vt') \\ y = y' \\ z = z' \end{array} \right\} \quad (1.17)$$

ความสามารถแสดงได้ว่า

$$\left. \begin{aligned} dt &= \gamma \left(dt' + \frac{\beta dx'}{c} \right) = \gamma \left(1 + \frac{vu'_x}{c^2} \right) dt' \\ dx &= \gamma (dx' + vdt') = \gamma \left(\frac{dx'}{dt'} dt' + vdt' \right) = \gamma (u'_x + v) dt' \\ dy &= dy' \\ dz &= dz' \end{aligned} \right\} \quad (1.18)$$

โดยพิจารณา

$$u_x = \frac{dx}{dt} = \frac{\gamma (u'_x + v) dt'}{\gamma \left(1 + \frac{vu'_x}{c^2} \right) dt'} = \frac{u'_x + v}{1 + \frac{vu'_x}{c^2}} \quad (1.19)$$

ซึ่งสมการ (1.21) เป็นความเร็วในแนวแกน x

ในท่านองเดียวกันความสามารถแสดงได้ว่า

$$\left. \begin{aligned} u_y &= \frac{dy}{dt} = \frac{u'_y / \gamma}{1 + \frac{vu'_x}{c^2}} \\ u_z &= \frac{dz}{dt} = \frac{u'_z / \gamma}{1 + \frac{vu'_x}{c^2}} \end{aligned} \right\} \quad (1.20)$$

การแปลงที่เขียน u'_x, u'_y, u'_z ให้อยู่ในรูป u_x, u_y, u_z

$$\left. \begin{aligned} u'_x &= \frac{dx'}{dt'} = \frac{u_x - v}{1 - \frac{vu'_x}{c^2}} \\ u'_y &= \frac{dy'}{dt'} = \frac{u_y / \gamma}{1 - \frac{vu'_x}{c^2}} \\ u'_z &= \frac{dz'}{dt'} = \frac{u_z / \gamma}{1 - \frac{vu'_x}{c^2}} \end{aligned} \right\} \quad (1.21)$$

ทำให้ความสามารถรวมความเร็วสำหรับแกนต่าง ๆ ในทฤษฎีสัมพัทธภาพได้ [7-11, 17]

ผลจากการแปลงลօเวนช์ทำให้เรามีปรากฏการณ์สำคัญเกิดขึ้น ซึ่งจะกล่าวต่อไป ดังนี้

1.8 สัมพัทธภาพแห่งความพร้อมเพรียง (Relativity of simultaneity)

ตามทฤษฎีสัมพัทธภาพแบบนิวตันหรือแบบกาลิเลโอ เวลาเป็นเวลาสัมบูรณ์ หมายความว่า เวลาไม่ค่าเป็นอย่างเดียวหรือเท่ากันหมด ไม่ว่าจะวัดในกรอบอ้างอิงเดียวกันใด ดังนั้นการที่เหตุการณ์สองเหตุการณ์เกิดขึ้น ณ เวลาเดียวกัน จึงมีความหมายเหมือนกันสำหรับผู้สังเกตในทุกๆ กรอบอ้างอิงเดียวกัน

แต่สำหรับสัมพัทธภาพพิเศษซึ่งสัมพันธ์กับการแปลงลอเรนซ์ ทำให้เรากล่าวได้ว่า เหตุการณ์สองเหตุการณ์ใด ๆ ที่เกิดขึ้น ณ เวลาเดียวกัน แต่ในที่ ๆ ต่างกันในปริภูมิเวลาอว拉斯โดยผู้สังเกตคนหนึ่งจะไม่ได้เกิด ณ เวลาเดียวกันซึ่งวัดโดยผู้สังเกตอีกคนหนึ่งที่เคลื่อนที่ด้วยความเร็วสมำเสมอสัมพัทธ์กับผู้สังเกตคนแรก ดังนั้น การกล่าวว่าเหตุการณ์สองเหตุการณ์เกิดขึ้นที่จุดเวลาเดียวกันนั้นมีความหมายสัมพัทธ์กับผู้สังเกตเท่านั้น ผู้สังเกตในกรอบอีกรอบหนึ่งจะเห็นว่าเหตุการณ์ทั้งสองเกิดขึ้นที่เวลาต่างกัน ส่วนจะต่างกันมากน้อยเพียงใดขึ้นอยู่กับระยะทางของเหตุการณ์ทั้งสอง [7-9, 17]

1.9 การยืดออกของเวลา (Time dilation)

ถ้าเราเมินาพิกาสองเรือนที่เหมือนกันทุกประการ โดยให้เรือนหนึ่งอยู่กับที่ซึ่งถือเป็นตัวแทนผู้สังเกตที่อยู่กับที่ ส่วนผู้สังเกตที่เคลื่อนที่กำหนดให้เป็นนาฬิกาอีกเรือนหนึ่งซึ่งเคลื่อนที่ไปตามแกน x ด้วยอัตราเร็ว v

จากการแปลงแบบลอเรนซ์

$$\Delta t' = \gamma \left(\Delta t + \frac{v \Delta x'}{c^2} \right) \quad (1.22)$$

เนื่องจากนาฬิกาที่เข้าวัดเรือนหนึ่งอยู่กับที่ $\Delta x' = 0$ และ $\Delta t = \gamma \Delta t'$ มีความหมายว่า ผู้สังเกตที่อยู่กับนาฬิกาที่อยู่กับที่จะสังเกตว่านาฬิกาที่เคลื่อนที่เดินช้าลงมีค่าเท่ากับคูณด้วย γ

หรือ

$$\Delta t' = \frac{\Delta t}{\gamma} = \sqrt{1 - \frac{v^2}{c^2}} \Delta t \quad (1.23)$$

นั่นคือลักษณะของการยืดออกของเวลา แต่หากวัตถุมีความเร็วน้อยกว่าความเร็วแสงมากๆ เวลาที่วัดได้มีค่าเท่ากัน [4, 7-11]

1.10 การหดของระยะทาง (Length contraction)

ถ้าเรามีวัตถุเก็ง เช่น ไม้เมตร โดยที่อันหนึ่งยาวไว้อยู่กับที่และอีกอันหนึ่งเคลื่อนที่ด้วยความเร็ว v ในทิศทางของแกน x

ความยาวของไม้เมตรที่วัดได้โดยผู้สังเกตที่เคลื่อนที่คือ

$$\Delta L' = \gamma \Delta L \quad (1.24)$$

หรือ สำหรับผู้สังเกตที่อยู่กับที่

$$\Delta L = \frac{\Delta L'}{\gamma} = \left(1 - \frac{v^2}{c^2}\right) \Delta L' \quad (1.25)$$

จะพบว่าผู้สังเกตที่เคลื่อนที่จะสามารถวัดความยาวได้น้อยกว่าผู้สังเกตที่อยู่กับที่ แต่หากขั้ตราเร็วของการเคลื่อนที่นั้นมีค่าน้อยกว่าความเร็วแสงมาก ๆ ความยาวที่วัดได้จะมีค่าเท่ากัน [7, 9-11, 17]

หลังจากที่ไอ้น์สไตน์ได้นำเสนอทฤษฎีสัมพัทธภาพพิเศษซึ่งเป็นการพิจารณาการเคลื่อนที่ของวัตถุภายในกรอบอ้างอิงที่เรียกว่า กรอบอ้างอิงเดียว ซึ่งเป็นกรอบอ้างอิงที่ไม่มีความเร่งเข้ามา ก็ยิ่งข้องภายในได้สมมติฐานที่สำคัญ 2 ประการ คือ ความเหมือนกันของกฎพิสิกส์ในกรอบอ้างอิงเดียวและกรณีเปลี่ยนของความเร็วแสง โดยผู้สังเกตไม่ว่าจะอยู่ในสถานะใดก็ตามจะวัดความเร็วของแสงได้เท่ากัน ทำให้ไอ้น์สไตน์ได้รวมເຄပ്രิกຸມ 3 ມີຕີເຂົ້າກັບເວລາເປັນປຣິກູມເວລາອາກະສ 4 ມີຕີ ອີກທັງຍັງເກີ່ວຂໍອງກັບການແປລັງພິກັດນັ້ນດີກຳກັນກຳມືກຳກັນ ທີ່ຈຶ່ງພົບວ່າເວລາສາມາດແປຮັນຕາມສຕານະຂອງຜູ້ສັງເກດ ທຳໄໝມີປຣິກູມກາຣົນທີ່ນໍາສົນໃຈເກີດຂຶ້ນ ເຊັ່ນ ສັນພັດທະກາພແທ່ງຄວາມພ້ອມເພື່ອຍ ກາຣຍືດອອກຂອງເວລາ ກາຣහດສັນຂອງຮະຍະທາງ ເປັນຕົ້ນ ນອກຈາກນີ້ໃນປ.ສ. 1915 ໃ້ອນ໌ໄດ້ນຳເສັນອຸທຸງຫຼີສັນພັດທະກາພທີ່ໄປທີ່ມີຄວາມເຮັດວຽກ ທີ່ກີ່ອົກກື້ອງແຮງໃນໜີດ່ວງເຂົ້າມາ ເກີ່ວຂໍອງ ນັ້ນດີກີ່ເປັນການພິຈາຮານາກຮອບອ້າງອີງທີ່ໄປທີ່ໄມ່ຈຳເພາະດ້ອງເປັນກຮອບຢ້າງອີງເນື້ອຍ ຕັ້ງຈະກລ່າວໃນບທຕ່ອໄປ

บทที่ 2

สัมพัทธภาพทั่วไป (General relativity)

สัมพัทธภาพทั่วไป คือ ทฤษฎีเชิงเรขาคณิตของความโน้มถ่วงและเอกภพวิทยา โดย อัลเบิร์ต ไอน์สไตน์ ได้นำเสนอทฤษฎีนี้ในปี ค.ศ. 1915 โดยก่อนหน้านี้ เขายังได้นำเสนอสัมพัทธภาพ พิเศษในปี ค.ศ. 1905 ซึ่งเป็นการพิจารณาเฉพาะกรอบอ้างอิงเดียวซึ่งเป็นกรณีที่ไม่มีความเร่งหรือ แรงโน้มถ่วงเข้ามาเกี่ยวข้อง แต่สัมพัทธภาพทั่วไปเป็นการพิจารณาในกรอบอ้างอิงทั่วไป ดังนั้นจึง สามารถกล่าวได้ว่า สัมพัทธภาพพิเศษเป็นส่วนหนึ่งของสัมพัทธภาพทั่วไป [4, 5, 15]

ทฤษฎีทั้งสองนี้ได้ถูกสร้างขึ้นเพื่อใช้อธิบายข้อเท็จจริงที่ว่าคลื่นแม่เหล็กไฟฟ้านั้นไม่ได้ เคลื่อนที่ตามกฎการเคลื่อนที่ของนิวตัน เมื่อจากคลื่นแม่เหล็กไฟฟ้าจะเคลื่อนที่ด้วยความเร็วคงที่ โดยไม่ขึ้นกับการเคลื่อนที่ของผู้สังเกต แนวคิดหลักของทั้งสองทฤษฎีนี้ คือ แม้ผู้สังเกตสองคนที่ กำลังเคลื่อนที่สัมพัทธกันนั้นอาจจะตรวจการเปลี่ยนแปลงของเวลาและตำแหน่งได้ต่างกัน สำหรับเหตุการณ์หนึ่งๆ แต่ผู้สังเกตทั้งสองจะยังคงสังเกตเห็นเนื้อหาของกฎทางพิสิกส์ที่เหมือนกัน [4, 5, 7-11, 15, 17]

ทฤษฎีสัมพัทธภาพทั่วไปนี้กล่าวถึงสมการหนึ่งที่มาแทนที่กฎแรงโน้มถ่วงของนิวตัน โดย ใช้เรขาคณิตเชิงอนุพันธ์และแทนเชอร์วินการอธิบายแรงโน้มถ่วง ซึ่งแสดงให้เห็นว่าผู้สังเกตทุกคน เหมือนกันไม่ว่าจะอยู่ในห้องหรือเคลื่อนที่ด้วยอัตราเร็วคงที่หรือไม่ กฎของทฤษฎีสัมพัทธภาพทั่วไปจะ เหมือนกันสำหรับผู้สังเกตทุกคน แม้ว่าผู้สังเกตแต่ละคนเคลื่อนที่ด้วยความเร่งเมื่อเทียบกับผู้ สังเกตคนอื่น ในทฤษฎีสัมพัทธภาพทั่วไปนี้ แรงโน้มถ่วงไม่ได้เป็นแรงอย่างในกฎแรงโน้มถ่วงของ นิวตันอีกต่อไป แต่เป็นผลจากการโค้งของปริภูมิเวลาอว拉斯 [4, 5, 15]

เนื่องจากที่ได้กล่าวไว้ว่าในการอธิบายทฤษฎีสัมพัทธภาพทั่วไปจะต้องใช้เรขาคณิตและ เทคนิคในการอธิบายแรงโน้มถ่วงที่ต่อมากพบว่าเป็นผลมาจากการโค้งของปริภูมิเวลาอว拉斯 ดังนั้นเราจึงต้องทำความเข้าใจที่มาและความหมายของเทคนิค แม่นิโฟลด์และปริภูมิเวลา อว拉斯 ดังต่อไปนี้

2.1 เทคนิค (Tensor)

การที่วัตถุในระบบพิกัดจากหนึ่งเปลี่ยนไปเป็นอีกระบบพิกัดจากหนึ่ง ส่วนประกอบของ วัตถุที่อยู่ในพิกัดจากนั้นจะเปลี่ยนแปลงไปอย่างไรจะศึกษาได้จากส่วนประกอบของเทคนิค โดย พิจารณาว่าส่วนประกอบ ในระบบพิกัดจากหนึ่งจะมีความสัมพันธ์อย่างไรกับส่วนประกอบนั้นใน

อีกระบบพิกัดหนึ่ง โดย เทนเซอร์อันดับศูนย์ เรายังเรียกว่า สเกลาร์ เช่น φ เทนเซอร์อันดับหนึ่ง เรายังเรียกว่า เวกเตอร์ เช่น v^α และเทนเซอร์ที่เราให้ความสนใจคือ เทนเซอร์อันดับสอง ที่เรียกว่า เทนเซอร์ความเด็น [13]

2.2 แมนิฟอลด์ (Manifold)

แมนิฟอลด์ คือ ปริภูมิทางคณิตศาสตร์ที่ใช้บ่งบอกตำแหน่งของวัตถุ โดยที่แมนิฟอลด์ สามารถมีความโค้งได้และมี 拓扑拓扑 (topology) ได้ในหลาย ๆ แบบ สิ่งที่สำคัญคือ ณ บริเวณ หนึ่ง แมนิฟอลด์จะต้องมีลักษณะเหมือนกับ \mathbb{R}^n ในทางพิสิกส์ เราจะพูดถึงแมนิฟอลด์ที่สามารถหา อนุพันธ์ได้ (differentiable manifold หรือบางครั้งเรียกว่า smooth manifold) โดยที่แมนิฟอลด์ สามารถมองได้ว่าเป็นอว拉斯หรือปริภูมิที่โค้ง แต่จะแบบราบ ณ บริเวณหนึ่ง (locally flat) สำหรับ ตัวอย่างง่าย ๆ ของแมนิฟอลด์ คือ พื้นผิวโลก และสิ่งที่สำคัญสำหรับความเป็นแมนิฟอลด์ก็คือ จะต้องมีความเป็นมิติหนึ่ง ๆ ตลอดการเปลี่ยนแปลงของพื้นผิว [8]

2.3 ปริภูมิเวลาอว拉斯 (Spacetime)

แนวคิดเรื่องปริภูมิเวลาอว拉斯มีที่มาจากการคณิตศาสตร์ชื่อ แฮร์มันน์ มิงคอกฟสกี (Hermann Minkowski) ซึ่งเป็นแนวคิดการเชื่อมโยงระหว่างส่วนของปริภูมิเข้ากับเวลาจนเกิดเป็น ปริภูมิเวลาอว拉斯 4 มิติ โดยจุดแต่ละจุดที่เกิดขึ้นในปริภูมิเวลาอว拉斯 เราจะเรียกว่า เหตุการณ์ ซึ่งประกอบด้วย ตัวเลข (t, \vec{x}) ตัวแทนส่วนของเวลา และอีก 3 ตัวแทนส่วนของปริภูมิ นอกเหนือนี้ มิงคอกฟสกีได้เขียนไว้ในบทความของเขาว่า “มุ่งมองเกี่ยวกับที่ว่างและเวลา ซึ่งข้าพเจ้าจะแสดงให้ ท่านเห็นนี้ เป็นผลสรุปที่ได้จากการทดลองทางพิสิกส์ และนั่นเองที่ทำให้มันมีความน่าเชื่อถือ ภาพ เหล่านี้แตกต่างจากที่เราคุ้นเคยอย่างสิ้นเชิง และนับจากนี้ไป ที่ว่างโดยตัวมันเองและเวลาโดยตัว มันเอง จะค่อย ๆ หายไปอย่างเป็นเพียงแต่เงา และมีเพียงแต่การสมมตานของที่ว่างและเวลา เท่านั้นที่จะยังคงไว้ซึ่งความเป็นจริงที่ไม่เข้ากับเงื่อนไขอื่น” [16]

ต่อมาเมื่อไอน์สไตน์ต้องการพัฒนาทฤษฎีสัมพัทธภาพทั่วไป ซึ่งมีแนวคิดที่ว่า ความโค้ง ของปริภูมิเวลาอว拉斯ก็คือ ความโน้มถ่วง เขาจึงนำแนวคิดเรื่องปริภูมิเวลาอว拉斯 4 มิติของมิงคอกฟสกีมาใช้

สำหรับเมตริกของปริภูมิเวลาอว拉斯มิงคอกฟสกีมีรูปแบบ ดังนี้

$$ds^2 = -dt^2 + dx^2 + dy^2 + dz^2 \quad (2.1)$$

เราสามารถเขียนสมการนี้ในรูปของเทนเซอร์ ดังนี้

$$ds^2 = \eta_{ab} dx^a dx^b, \quad (2.2)$$

เราจะให้ η_{ab} แทน เมตริกมิ่งคอกสกี

$$\eta_{ab} = \begin{bmatrix} -1 & 0 & 0 & 0 \\ 0 & +1 & 0 & 0 \\ 0 & 0 & +1 & 0 \\ 0 & 0 & 0 & +1 \end{bmatrix} = diag(-1, +1, +1, +1) \quad (2.3)$$

สำหรับเมตริกมิ่งคอกสกีเป็นเมตริกเทนเซอร์ในทฤษฎีสัมพัทธภาพพิเศษซึ่งเป็นปริภูมิเวลาอว拉斯เป็นราบ (flat spacetime) แต่สำหรับในทฤษฎีสัมพัทธภาพทั่วไป จะใช้สัญลักษณ์คือ g_{ab} [8, 17]

จากหลักสำคัญที่ว่าความโน้มถ่วงเป็นผลมาจากการโค้งของปริภูมิเวลาอว拉斯 ดังนั้นจึงกล่าวได้ว่าทฤษฎีสัมพัทธภาพทั่วไปนี้เป็นทฤษฎีเชิงเรขาคณิตที่ถือหลักว่ามวลและพลังงานทำให้เกิดการโค้งของปริภูมิเวลาอว拉斯และการโค้งนี้ส่งผลต่อเส้นทางการเคลื่อนที่ของอนุภาคอิสระรวมทั้งแสงและในทฤษฎีนี้จะพบว่า

- ปริภูมิเวลาอว拉斯 (spacetime) เป็นแม่นิฟล์ดแบบลอบเรนต์ที่มีความโค้งใน 4 มิติ (curved 4-dimensional Lorentzian manifold)
- ปริภูมิเวลาอว拉斯จะโค้งตามอิทธิพลของมวล พลังงาน และ โมเมนตัม หรือ เทนเซอร์ ความเค้นพลังงานที่อยู่ข้างใน
- ความสมมูลระหว่างเทนเซอร์ความเค้นพลังงาน และความโค้งของปริภูมิเวลาอว拉斯 อธิบายได้ด้วยสมการสนานของไอน์สไตน์ (Einstein's field equations)
- การเคลื่อนที่แบบเชื่อย (inertial motion) จะเกิดขึ้นในช่วง timelike คือ บริเวณที่การเคลื่อนที่มีความเร็วน้อยกว่าความเร็วแสงและอยู่ในสภาพนัลจีโอดีสิก (null geodesics) ของปริภูมิเวลาอว拉斯 [4, 5, 15]

สมมติฐานของทฤษฎีสัมพัทธภาพทั่วไปมี 1 ข้อ เรียกว่า “หลักการของสมมูล (Principle of Equivalence)” ซึ่งกล่าวได้หลายรูปแบบ โดยหลักการของสมมูลตามแบบเดิมหรือตามแบบที่ไอน์สไตน์กล่าวไว้ มีใจความว่า “กฎพิสิกส์มีรูปแบบ (เชิงคณิตศาสตร์) เป็นอย่างเดียวกันที่แต่ละ

จุดในส่วนนั้นและโน้มถ่วงที่สม่ำเสมอ และเป็นเช่นเดียวกันกับในกรอบข้างของที่เคลื่อนที่ด้วย “ความเร่งสม่ำเสมอ” [4, 5, 7, 15]

สำหรับในทฤษฎีสัมพัทธภาพทั่วไป หากเราต้องการหาสมการที่ใช้สำหรับการบรรยายการเคลื่อนของปริภูมิเวลาอว拉斯โดยที่ความโค้งของปริภูมิเวลาอว拉斯คือแรงโน้มถ่วงนั้นเอง เราจะใช้หลักการแปลงจากสัมพัทธภาพพิเศษที่เกิดขึ้นเฉพาะในกรอบเดียวกันนี้

- $\eta_{\mu\nu} \rightarrow g_{\mu\nu}$ คือ การแทนค่าเมตริกมินคอร์สกีด้วยเมตริกทั่วไป
- $\partial_\mu \rightarrow \nabla_\mu$ คือ การเขียนอนุพันธ์ปกติให้เป็นอนุพันธ์โควารีเยนซ์ [8]

2.4 สมการสนามของไอน์สไตน์ (Einstein's field equations)

สมการไอน์สไตน์ หรือ สมการสนามของไอน์สไตน์ คือ สมการสนามที่แสดงความสัมพันธ์ระหว่างความโค้งของปริภูมิเวลาอว拉斯และมวลหรือสสาร สมการไอน์สไตน์เป็นสมการแทนเทนเซอร์ซึ่งอยู่ในรูป

$$G_{\mu\nu} = 8\pi T_{\mu\nu} \quad (2.4)$$

โดยที่ $G_{\mu\nu}$ คือ ไอน์สไตน์เทนเซอร์ เป็นปริมาณที่บ่งบอกถึงความโน้มถ่วง และ $T_{\mu\nu}$ คือเทนเซอร์พลังงานโมเมนตัม ซึ่งเป็นปริมาณของพลังงานหรือสสารที่ก่อให้เกิดแรงโน้มถ่วง [7, 15]

จากที่กล่าวว่า $G_{\mu\nu}$ คือ ไอน์สไตน์เทนเซอร์ เป็นปริมาณที่บ่งบอกถึงความโน้มถ่วงนั้นมีที่มาจากการ

$$G_{\mu\nu} = R_{\mu\nu} - \frac{1}{2} g_{\mu\nu} R \quad (2.5)$$

โดยที่ $R_{\mu\nu}$ คือ ริกชีเทนเซอร์ $g_{\mu\nu}$ คือ เมตริกเทนเซอร์ และ R คือ ริกชีสเกลาร์

สำหรับสมการ (2.5) ซึ่งอธิบายความสัมพันธ์ของไอน์สไตน์เทนเซอร์ในรูปแบบของ ริกชีเทนเซอร์ เมตริกเทนเซอร์ และ ริกชีสเกลาร์ โดยที่มาของสมการมีดังต่อไปนี้

หลักการของการสมมูล ความสัมพันธ์ระหว่างความโน้มถ่วงที่เข้ากับเทนเซอร์โมเมนตัม พลังงาน $T_{\alpha\beta}$ เข้ากับเทนเซอร์ในเวกเตอร์มีมันน์

เริ่มต้นจากความสัมพันธ์ที่โยงเมตริกเทนเซอร์ $g_{\alpha\beta}$ เข้ากับเทนเซอร์โมเมนตัมพลังงาน

$$T_{\alpha\beta}$$

$$g_{\alpha\beta} \propto T_{\alpha\beta} \quad (2.6)$$

หากความสัมพันธ์ตามสมการ (2.6) ถูกต้อง เนื่องจาก $T_{\alpha\beta}$ มีค่าเป็นศูนย์ในสุญญากราฟ ทำให้เราได้ว่า $g_{\alpha\beta}$ จะมีค่าเป็นศูนย์ในสุญญากราฟซึ่งเงื่อนไขของสมการ (2.6) เป็นไปได้

ดังนั้น เราจึงสมมติความสัมพันธ์ให้อยู่ในรูป

$$R_{\alpha\beta} \propto T_{\alpha\beta} \quad (2.7)$$

โดยที่ $R_{\alpha\beta}$ คือ วิกฤติความเรียนรู้แทนเชอร์

เงื่อนไขความสัมพันธ์ตามสมการ (2.7) มีความเป็นไปได้ที่สุญญากราฟ เนื่องจาก $R_{\alpha\beta} = 0$ ที่ตำแหน่งที่อยู่ห่างไกลจากวัตถุในเอกภพหรือปริภูมิเป็นปริภูมิแบบราบ และมีค่าไม่เป็นศูนย์ ถ้าเราพิจารณาที่ตำแหน่งที่ใกล้กับมวลในเอกภพ

จากหลักการที่กล่าวว่าพลังงานและโมเมนตัมจะต้องเป็นไปตามกฎอนุรักษ์ในปริภูมิ 4 มิติ แล้วเราจะพบว่า $\frac{\partial T^{\alpha\beta}}{\partial x^\alpha} = 0$ ตามพิกัดเชื่อมของกรอบอ้างอิงท้องถิ่นที่ทุก ๆ จุดตามนัยของหลักการของการสมมูล

ดังนั้น $\frac{\partial R_\alpha^\beta}{\partial x^\alpha} = 0$ และเราพิสูจน์ได้ว่า

$$\frac{\partial R_\alpha^\beta}{\partial x^\beta} = \frac{1}{2} \frac{\partial R_\alpha^\alpha}{\partial x^\beta} = \frac{1}{2} \frac{\partial R}{\partial x^\beta} \quad (2.8)$$

โดยที่ $R = R_\alpha^\alpha$ คือ ความโค้งสเกลาร์หรือวิกฤติสเกลาร์ ซึ่งเป็นปริมาณที่ไม่เปลี่ยนแปลง และ R มีค่าเป็นสองเท่าของอนุพันธ์ความเรียนรู้อันดับหนึ่งของแทนเชอร์วิกฤติแบบผสม

$$\frac{\partial}{\partial x^\beta} \left(R_\alpha^\beta - \frac{1}{2} \delta_\alpha^\beta \frac{\partial R}{\partial x^\alpha} \right) = 0 \quad (2.9)$$

ปริมาณที่อยู่ภายในวงเล็บ จะเรียกว่า ไออนส์ไตน์แทนเชอร์ แทนด้วย G_α^β

$$\text{เราให้ } G_\alpha^\beta = kT_\alpha^\beta \text{ หรือ } R_\alpha^\beta - \frac{1}{2} \delta_\alpha^\beta R = kT_\alpha^\beta \quad \text{โดยที่ } k \text{ เป็นค่าคงที่ คือ } k = \frac{8\pi G}{c^4}$$

โดยสมการนี้ เรียกว่า สมการสนานของไออนส์ไตน์

เราสามารถเขียนสมการสนาณของไอโนส์ไตน์ให้อยู่ในรูปแบบของคลาวเรียนซ์ คือ

$$G_{\alpha\beta} = kT_{\alpha\beta}$$
 หรือ รูปแบบของคอนกราราเรียนซ์ คือ $G^{\alpha\beta} = kT^{\alpha\beta}$ หรือ รูปแบบผสม คือ
$$G_\alpha^\beta = kT_\alpha^\beta$$
 [7]

จากการที่ไอโนส์ไตน์ต้องการพัฒนาทฤษฎีสัมพัทธภาพพิเศษที่เป็นการพิจารณาการเคลื่อนที่ของวัตถุที่พิจารณาเฉพาะกรอบอ้างอิงเดียวที่ไม่มีความเร่งเข้ามาเกี่ยวข้องมาเป็นกรอบอ้างอิงทั่วไป โดยพิจารณาในปริภูมิเวลาอว拉斯 4 มิติ ทำให้เกิดเป็นทฤษฎีสัมพัทธภาพทั่วไป ซึ่งเป็นทฤษฎีเชิงเรขาคณิตที่ใช้แทนเชอร์รีในการอธิบายความเร่งซึ่งก็คือแรงโน้มถ่วงนั้นเอง ทำให้พบว่าแนวคิดหลักของทฤษฎีสัมพัทธภาพทั่วไปคือ การที่มวลสารทำให้ปริภูมิเวลาอว拉斯โค้งอีกทั้งแนวคิดนี้ทำให้เกิดสมการที่มีความน่าสนใจ ที่เรียกว่า สมการสนาณของไอโนส์ไตน์ ซึ่งเป็นสมการที่มีความสำคัญในการศึกษาการจำลองของดวงดาวในจักรวาล ดังที่จะได้กล่าวในบทต่อไป

ศูนย์วิทยทรัพยากร จุฬาลงกรณ์มหาวิทยาลัย

บทที่ 3

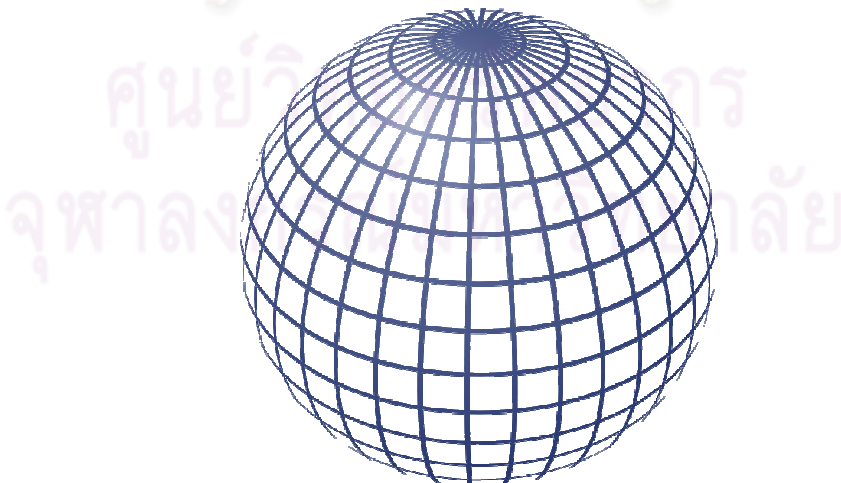
ทรงกลมของไอลสมบูรณ์ (Perfect fluid spheres)

ในการสำรวจและศึกษาทฤษฎีของดวงดาวในจักรวาลได้มีการสร้างแบบจำลองของดวงดาวเพื่อศึกษาลักษณะของสมการที่สามารถอธิบายลักษณะของดวงดาวได้ โดยทรงกลมของไอลสมบูรณ์ถือเป็นการประมาณขั้นพื้นฐานของแบบจำลองของดวงดาว โดยสมบัติของความเป็นทรงกลมของไอลสมบูรณ์จะทำให้เห็นเชอร์ความเด่นพลังงานอยู่ในรูปของเมตริกที่แสดงมุ่งโดยที่ความดันมีค่าเท่ากัน และความสัมพันธ์ของเห็นเชอร์ความเด่นพลังงานกับสมการสนามของไอโอนส์ไตน์ทำให้มีสมการทางคณิตศาสตร์เกิดขึ้น ซึ่งสมการที่เกิดขึ้นนี้เองเป็นประโยชน์สำหรับการศึกษาและพัฒนาทฤษฎีต่อไป [20-24, 28, 30, 32-34, 36, 37]

โดยก่อนอื่นเราต้องศึกษาความหมายและลักษณะของแบบจำลองที่เราจะใช้ในการสร้างทฤษฎี ซึ่งแบบจำลองที่เราสนใจ คือ ทรงกลมของไอลสมบูรณ์ ซึ่งมีลักษณะดังที่จะได้กล่าวต่อไปนี้

3.1 ทรงกลม (Sphere)

ในการศึกษาลักษณะของดวงดาว เราจะนำให้แบบจำลองมีลักษณะจำเพาะเป็นทรงกลมโดยทรงกล้มมีความหมายเป็น วัตถุทางเรขาคณิต เช่น รูปทรงของลูกบอลในพื้นที่ 3 มิติ สำหรับใน 2 มิติ คือ วงกลม นอกจากนี้ ทรงกลมสมบูรณ์มีระยะห่างจากจุดศูนย์กลางถึงทุก ๆ จุดบนพื้นผิวมีค่าเท่ากันเสมอ [12, 26, 39]



ภาพที่ 4: ลักษณะของทรงกลมสมบูรณ์ใน 3 มิติ [12, 39]

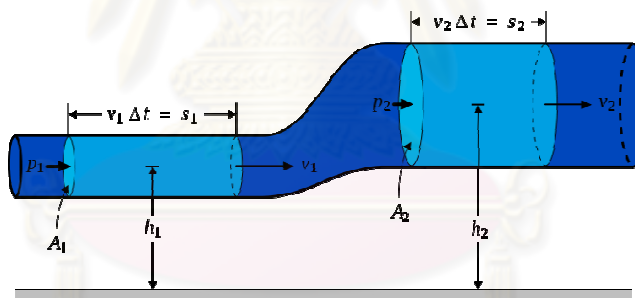
ในการพิจารณาลักษณะของแบบจำลอง ด้วยการศึกษาลักษณะทางกายภาพโดยเจาะพิจารณาในส่วนของการเป็นของไอลนีองจากของไอลคือสสารที่ไม่เลกูลย์ดกันแบบหลวม ๆ มีลักษณะของความต่อเนื่องที่สามารถเปลี่ยนรูปร่างตามภาชนะที่บรรจุซึ่งถือเป็นส่วนหนึ่งของกลศาสตร์ภาวะความต่อเนื่อง ดังนี้

3.2 กลศาสตร์ภาวะต่อเนื่อง

ศึกษาเกี่ยวกับของสารที่มีความต่อเนื่อง ประกอบด้วย

- กลศาสตร์ของเรือง : ศึกษาเกี่ยวกับของสารที่มีรูปร่างคงตัวแน่นอน
- กลศาสตร์ของไอล : ศึกษาถึงเกี่ยวกับของสารที่มีความต่อเนื่องและเปลี่ยนรูปไปตามลักษณะของภาชนะ

ดังนั้น จึงกล่าวได้ว่า กลศาสตร์ของไอลเป็นสาขาย่อยของกลศาสตร์ภาวะต่อเนื่อง โดยมุ่งมองทางกลศาสตร์แล้ว ของไอลไม่วัดความเค้นตั้งจากกับผิวงอก ดังนั้นมันจึงแปรรูปร่างไปตามภาชนะที่บรรจุตัวมันอยู่ และสามารถอยู่นิ่ง ๆ ได้โดยไม่มีความเค้นเดือน [1, 6]



ภาพที่ 5: แบบจำลองของไอลซึ่งแสดงถึงความต่อเนื่องและเปลี่ยนรูปไปตามภาชนะ [35]

3.3 กลศาสตร์ของไอล

คือ วิชาที่ศึกษาพฤติกรรมการเคลื่อนที่ของของไอลและแรงที่เกิดขึ้น กลศาสตร์ของไอลอาจแบ่งได้เป็นสองส่วนคือสถิตยศาสตร์ของไอลซึ่งศึกษาของไอลในขณะที่หยุดนิ่ง และพลศาสตร์ของไอลที่ศึกษาการเคลื่อนที่ของของไอล ศาสตร์นี้นับเป็นส่วนหนึ่งของกลศาสตร์ภาวะต่อเนื่องซึ่งศึกษาแบบจำลองของวัตถุโดยไม่สนใจข้อมูลในระดับอะตอม และเป็นส่วนหนึ่งของวิชาฟิสิกส์ที่เกี่ยวข้องกับคุณสมบัติของของไอลและแรงที่เกิดขึ้นในตัวของมัน [1, 6]

3.4 ของเหลว (Fluid)

คือ สารที่ไม่โนเกลกุลย์เดกันแบบหล่อฯ สามารถเปลี่ยนแปลงรูปร่าง เคลื่อนไหวไปตามสภาพที่ไม่ถูกจำกัดโดยภาชนะหรือบริเวณ นั่นคือ สารซึ่งสามารถไหลได้มีรูปร่างไม่แน่นอนขึ้นอยู่กับภาชนะที่บรรจุ

ของเหลวใช้ในยามสสารที่เปลี่ยนรูปร่างหรือไหลด้วยความเค็มเนื่องและของเหลวเป็นสถานะหนึ่งของสารโดยเป็นได้ทั้ง ของเหลว ก๊าซ หรือ ของแข็ง [1, 6]

สำหรับคุณสมบัติของของเหลวที่เรานำมาพิจารณาในวิทยานิพนธ์นี้ เราจะกล่าวถึงสมบัติบางประการที่มีความเกี่ยวข้องที่เรานำมาใช้ในการพิจารณาความเป็นของเหลวสมบูรณ์ นั่นคือ ในส่วนของ ความหนืด การนำความร้อน และสมบัติไอโซทรอปี

3.4.1 ความหนืด (Viscosity)

ของเหลวทุกชนิดย่อมมีสมบัติอย่างหนึ่งคือ เมื่อมีวัตถุเคลื่อนที่ผ่านหรือเมื่อมันไหลผ่านวัตถุใดๆ จะมีแรงเสียดทานกระทำต่อวัตถุโดยของเหลวนั้นๆ เช่น สมบัติของของเหลวที่ต้านทานการเคลื่อนที่ของวัตถุนี้เรียกว่า ความหนืด และแรงต้านทานการเคลื่อนที่ที่เกิดจากของเหลวนี้เรียกว่า แรงหนีด หรือแรงเสียดทานภายใน ดังนั้น ความหนืดของของเหลว คือ ค่าความต้านทานต่อการเคลื่อนและเสียดทานที่เกิดขึ้นในของเหลวเป็นผลมาจากการแข็งตึงดูดระหว่างโมเลกุล และการเปลี่ยนแปลงโมเมนตัมระหว่างโมเลกุลของของเหลว [1, 6, 14]

3.4.2 การนำความร้อน (Heat conduction)

คือ ปรากฏการณ์ที่พลังงานความร้อนถ่ายเทภายในวัตถุหนึ่งๆ หรือระหว่างวัตถุสองชิ้นที่สัมผัสกัน โดยมีทิศทางของการเคลื่อนที่ของพลังงานความร้อนจากบริเวณที่มีอุณหภูมิสูงไปยังบริเวณที่มีอุณหภูมิต่ำกว่า โดยที่ตัวกลางไม่มีการเคลื่อนที่ [2, 3]

3.4.3 สมบัติไอโซทรอปี (Isotropy)

คือ ความสม่ำเสมอในทุกทิศทาง มีที่มาจากการคำว่า ไอโซ (iso) ให้ความหมายถึง เท่ากัน หรือ เหมือนกัน ดังนั้นการมีสมบัติไอโซทรอปีสำหรับเห็นเชอร์ความเค็มพลังงานคือ คือค่าขององค์ประกอบในส่วนที่แยกมุ่งคือค่าของความดันมีค่าที่เท่ากัน [31]

สำหรับในงานวิทยานิพนธ์นี้ เป็นการพิจารณาแบบจำลองที่เรียกว่าทรงกลมของของเหลวสมบูรณ์ นั่นคือ ในส่วนของของเหลวจะต้องมีคุณสมบัติของความสมบูรณ์ นั่นคือ มีคุณสมบัติ 3 ข้อดังนี้

1. ไม่มีความหนืด

2. ไม่นำความร้อน

3. มีสมบัติไอโซทรอปี

คุณสมบัติทั้ง 3 ข้อนี้ เมื่อเรานำไปพิจารณาในรูปแบบของเทนเซอร์ความเดินพลังงาน [38] จะทำให้เห็นเชอร์ความเดินพลังงานอยู่ในรูปแบบของเมตริกท์ແยงมุม ดังต่อไปนี้

เมื่อพิจารณาในรูปแบบเทนเซอร์ความเดินพลังงาน การไม่มีความหนืด หมายถึง

$$T_{ij} = 0, \forall i, j = 1, 2, 3, i \neq j \text{ นั่นคือ}$$

energy density	energy flux	
T_{00}	T_{01} T_{02} T_{03}	
T_{10}	T_{11} T_{12} T_{13}	shear stress
T_{20}	T_{21} T_{22} T_{23}	
T_{30}	T_{31} T_{32} T_{33}	pressure
momentum density	momentum flux	

ภาพที่ 6: องค์ประกอบของเทนเซอร์ความเดินพลังงานที่มีค่าเป็นศูนย์สำหรับการไม่มีความหนืด [18]

เมื่อพิจารณาในรูปแบบ เทนเซอร์ความเดินพลังงาน การไม่นำความร้อน หมายถึง

$$T_{0j} = 0, \forall j = 1, 2, 3 \text{ นั่นคือ}$$

energy density	energy flux	
T_{00}	T_{01} T_{02} T_{03}	
T_{10}	T_{11} T_{12} T_{13}	shear stress
T_{20}	T_{21} T_{22} T_{23}	
T_{30}	T_{31} T_{32} T_{33}	pressure
momentum density	momentum flux	

ภาพที่ 7: องค์ประกอบของเทนเซอร์ความเดินพลังงานที่มีค่าเป็นศูนย์สำหรับการไม่นำความร้อน [18]

เมื่อพิจารณาในรูปแบบ เทนเซอร์ความเดินพลังงาน การมีสมบัติไอโซทรอปี หมายถึง

$$T_{11} = T_{22} = T_{33} \text{ นั่นคือ}$$

energy density	energy flux		
T_{00}	T_{01}	T_{02}	T_{03}
T_{10}	T_{11}	T_{12}	T_{13}
T_{20}	T_{21}	T_{22}	T_{23}
T_{30}	T_{31}	T_{32}	T_{33}

momentum density momentum flux

shear stress
pressure

ภาพที่ 8: องค์ประกอบของเทนเซอร์ความเดันพลังงานที่มีสมบัติไฮดรอกี คือ องค์ประกอบปริภูมิในส่วนที่แยกมุมจะมีค่าเท่ากัน [18]

ดังนั้น เทนเซอร์ความเดันพลังงาน ในรูปแบบของทรงกลมของไอลสมมูลร์ คือ

$$T_{\mu\nu} = \begin{bmatrix} \rho & 0 & 0 & 0 \\ 0 & p & 0 & 0 \\ 0 & 0 & p & 0 \\ 0 & 0 & 0 & p \end{bmatrix} \quad (3.1)$$

โดยที่ ρ คือ ความหนาแน่น และ p คือ ความดัน

นอกเหนือไปจากนี้ ในการอธิบายความเป็นของไอลเชิงสัมพัทธภาพ เรากำหนดให้ U_μ แทน ความเร็ว-4 และนิยามให้ ฝุ่นละออง (dust) ซึ่งเป็นกลุ่มของอนุภาคที่อยู่ในห้วงของไอลสมมูลร์ ไม่มีแรงกดซึ่งกันและกันระหว่างอนุภาคที่เป็นส่วนประกอบ และเราสามารถเขียนเทนเซอร์ความเดันพลังงานสำหรับฝุ่นละอองได้ ดังนี้ [8]

$$T_{\mu\nu} = \rho U_\mu U_\nu \quad (3.2)$$

หรือรูปแบบของเมตริก 4×4 ดังนี้

$$\begin{bmatrix} \rho & 0 & 0 & 0 \\ 0 & 0 & 0 & 0 \\ 0 & 0 & 0 & 0 \\ 0 & 0 & 0 & 0 \end{bmatrix} \quad (3.3)$$

หากเราพิจารณารูปแบบของ $(\rho + p)U_\mu U_\nu$ นั่นคือ

$$\begin{bmatrix} \rho + p & 0 & 0 & 0 \\ 0 & 0 & 0 & 0 \\ 0 & 0 & 0 & 0 \\ 0 & 0 & 0 & 0 \end{bmatrix} \quad (3.4)$$

และพิจารณา $p\eta_{\mu\nu}$ คือ

$$\begin{bmatrix} -p & 0 & 0 & 0 \\ 0 & p & 0 & 0 \\ 0 & 0 & p & 0 \\ 0 & 0 & 0 & p \end{bmatrix} \quad (3.5)$$

ดังนั้น เราจึงได้ รูปแบบทั่วไปของ $T_{\mu\nu}$ (หรือ general det) [8] คือ

$$T_{\mu\nu} = (\rho + p)U_\mu U_\nu + p\eta_{\mu\nu} \quad (3.6)$$

การศึกษาสมบัติของทรงกลมของไ碌สมบูรณ์เป็นสิ่งสำคัญเพื่อใช้ในทฤษฎีการแปลง
ดังนั้น ก่อนที่เราจะพิจารณาทฤษฎีการแปลงของทรงกลมของไลด์สมบูรณ์ เราจะศึกษาที่มาของ
เงื่อนไขของการเป็นทรงกลมของไลด์สมบูรณ์ โดยเงื่อนไขดังกล่าวมีที่มาจากการความสัมพันธ์ของ
คุณสมบัติของทรงกลมของไลด์สมบูรณ์และสมการสนนามของไออนส์ไตน์ ดังที่จะกล่าวต่อไปนี้
สมการไออนส์ไตน์มีรูปแบบ คือ

$$G_{\mu\nu} = 8\pi T_{\mu\nu} \quad (3.7)$$

โดยที่ $G_{\mu\nu}$ คือ ไออนส์ไตน์เทนเซอร์ และ $T_{\mu\nu}$ คือ เทนเซอร์พลังงานโมเมนตัม (เทนเซอร์ความเดิน
พลังงาน)

ในการคำนวณหาค่า $G_{\mu\nu}$ เราเมื่อสมการของไออนส์ไตน์เทนเซอร์ ดังนี้

$$G_{\mu\nu} = R_{\mu\nu} - \frac{1}{2}g_{\mu\nu}R \quad (3.8)$$

โดยที่ $R_{\mu\nu}$ คือ เทนเซอร์วิกซี่, $g_{\mu\nu}$ คือ เมตริกเทนเซอร์ และ R คือ สเกลาร์วิกซี่
โดยเราจะมีวิธีการคำนวณ ดังนี้

พิจารณา หาค่า $g_{\mu\nu}$ จาก

$$ds^2 = g_{\mu\nu}dx^\mu dx^\nu \quad (3.9)$$

จากนั้นจะเขียนให้อยู่ในรูปของสัญลักษณ์คิวติกเพล คือ

$$\Gamma_{\alpha\beta}^{\mu} = \frac{1}{2} g^{\mu\rho} \left(\frac{\partial g_{\rho\alpha}}{\partial x^{\beta}} + \frac{\partial g_{\rho\beta}}{\partial x^{\alpha}} - \frac{\partial g_{\alpha\beta}}{\partial x^{\rho}} \right) \quad (3.10)$$

หาค่าแทนเชอริกซีจาก

$$R_{\alpha\beta} = \frac{\partial \Gamma_{\beta\alpha}^{\delta}}{\partial x^{\delta}} - \frac{\partial \Gamma_{\delta\alpha}^{\beta}}{\partial x^{\delta}} + \Gamma_{\delta\lambda}^{\delta} \Gamma_{\beta\alpha}^{\lambda} - \Gamma_{\beta\lambda}^{\delta} \Gamma_{\delta\alpha}^{\lambda} \quad (3.11)$$

และหาค่าสเกลาริกซีจาก

$$R = g^{\alpha\beta} R_{\alpha\beta} \quad (3.12)$$

ดังนั้นเมื่อเราได้ค่าเมตริกแทนเชอร์ ทำให้สามารถหาค่าแทนเชอริกซีและสเกลาริกซีได้แล้วนำมาแทนค่าในสมการที่ (3.3) เราจะได้ค่าไอโนส์ไตน์แทนเชอร์ตามที่ต้องการ

สำหรับการศึกษาแบบจำลองของดวงดาวเกี่ยวกับทฤษฎีสัมพัทธภาพทั่วไปในส่วนของการนำสมการสนามของไอโนส์ไตน์มาสร้างทฤษฎี โดยสร้างแบบจำลองของดวงดาว ซึ่งแบบจำลองขึ้นต้นนี้คือ แบบจำลองที่เรียกว่า ทรงกลมของไอลสมบูรณ์ ซึ่งเป็นการจำลองที่พิจารณาในส่วนของการเป็นทรงกลม และพิจารณาลักษณะทางกายภาพของการเป็นของไอลซึ่งจะเข้มโดยกับแทนเชอร์ความเด่นพลังงาน อีกทั้งเมื่อพิจารณาสมบัติของการเป็นของไอลสมบูรณ์ นั้นคือ ไม่มีความหนืด ไม่นำความร้อน และมีสมบัติไฮดรอกซี ทำให้แทนเชอร์ความเด่นพลังงานมีรูปแบบเมตริกเป็นเมตริกแบบมุ่ง ซึ่งสะทกต่อการคำนวณและเมื่อนำมาสัมพันธ์กับสมการสนามของไอโนส์ไตน์ทำให้เกิดสมการเชิงอนุพันธ์ซึ่งเป็นประยุชน์ในการสร้างทฤษฎีการแปลงสำหรับทรงกลมของไอลสมบูรณ์

ศูนย์วิทยาศาสตร์
จุฬาลงกรณ์มหาวิทยาลัย

บทที่ 4

ทฤษฎีสำหรับทรงกลมของไอลสมบูรณ์ในพิกัดไอโซ troپ

ในการศึกษาทฤษฎีสำหรับทรงกลมของไอลสมบูรณ์ซึ่งถือเป็นทฤษฎีการแปลงที่มีลักษณะคือเป็นการแปลงเมตริกของทรงกลมของไอลสมบูรณ์ โดยเมตริกผลลัพธ์ที่ได้ยังคงมีสมบัติของทรงกลมของไอลสมบูรณ์ตามแนวคิดทฤษฎีการแปลงทรงกลมของไอลสมบูรณ์ของ BVW (Boonserm, Visser, and Weinfurter) โดยที่ BVW ได้นำเสนอทฤษฎีบีบพารามิเตอร์แบบ BVW ในรูปแบบพิกัดต่าง ๆ เช่น พิกัดชوار์ซไชลด์ พิกัดไอโซ troپ พิกัดเชิงข้อแบบเก้าส์ เป็นต้น โดยวิทยานิพนธ์นี้ เรากำพิจารณาเฉพาะรูปแบบพิกัดไอโซ troپ โดยพิจารณาทฤษฎีบีบพารามิเตอร์ของ BVW จากนั้นนำมาประยุกต์ใช้จริงเพื่อศึกษาเมตริกผลลัพธ์ที่เกิดขึ้น

จากการที่เราได้นำเสนอสมบัติของทรงกลมของไอลสมบูรณ์ดังที่ได้กล่าวในบทที่ 3 ในส่วนของแทนเซอร์ความเค้นพลังงานในรูปแบบของทรงกลมของไอลสมบูรณ์ที่ทำให้เมตริกของแทนเซอร์ความเค้นพลังงานมีลักษณะเป็นเมตริกที่แยกมุมและค่าของความดันมีค่าเท่ากัน นั่นคือ

$$T_{rr} = T_{\theta\theta} = T_{\phi\phi} \quad (4.1)$$

และจากสมการสนำมของไออนส์ไตน์ที่มีรูปแบบคือ

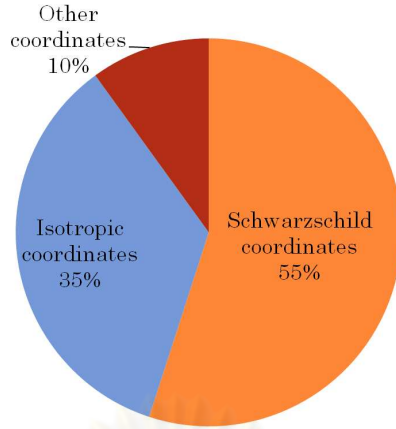
$$G_{\mu\nu} = 8\pi T_{\mu\nu} \quad (4.2)$$

ทำให้เราได้ความสัมพันธ์ของค่าไออนส์ไตน์แทนเซอร์ดังนี้

$$G_{rr} = G_{\theta\theta} = G_{\phi\phi} \quad (4.3)$$

ดังนั้น เมื่อเราคำนวนหาค่าไออนส์ไตน์แทนเซอร์แต่ละตัวและนำมาจัดรูปแบบให้สอดคล้องกับสมบัติของทรงกลมของไอลสมบูรณ์จะทำให้เกิดสมการเชิงอนุพันธ์ คือ สมการที่ (4.7) และ (4.9) ซึ่งจะได้กล่าวต่อไป

ในการคำนวนหาค่าไออนส์ไตน์แทนเซอร์ซึ่งจะให้รูปแบบต่างกันตามพิกัดที่เราศึกษา เราจะพิจารณารูปแบบของพิกัดของทรงกลมของไอลสมบูรณ์โดยที่ Finch และ Skea ได้กล่าวไว้ว่า พิกัดของทรงกลมของไอลสามารถใช้ได้ในพิกัดชوار์ซไชลด์ ประมาณ 55% สามารถใช้ได้ในพิกัดไอโซ troپ ประมาณ 35% และใช้ได้ในพิกัดอื่น ๆ อีกประมาณ 10% ซึ่งสำหรับในวิทยานิพนธ์นี้ จะศึกษาในส่วนของพิกัดไอโซ troپ [20]



ภาพที่ 9: สัดส่วนของพิกัดต่าง ๆ ของทรงกลมของไอลสมบูรณ์ [20]

สำหรับคำว่า “ไอโซทรอปี” หมายถึง คุณสมบัติซึ่งทุกพื้นที่ทางมีค่าเท่ากันและเป็นอิสระต่อกัน ดังนั้นนิยามลักษณะของพิกัดไอโซทรอปี คือ ค่าสัมประสิทธิ์ของพิกัดปริภูมิจะมีค่าเท่ากัน [20, 21, 23, 24, 32]

พิกัดไอโซทรอปี มีลักษณะเมตริกดังนี้

$$ds^2 = -\zeta(r)^2 dt^2 + \frac{1}{\zeta(r)^2 B(r)^2} \{dr^2 + r^2 d\Omega^2\} \quad (4.4)$$

โดยที่ $d\Omega^2 = d\theta^2 + \sin^2 \theta d\phi^2$

จากแนวคิดการพัฒนาทฤษฎีบทการแปลงของ BVW [20] จะได้ว่าเมื่อพิจารณาค่าของ เมตริกแทนเชอร์วีนรูปแบบของพิกัดไอโซทรอปีทำให้เราคำนวนหาค่า G_{rr} และ $G_{\theta\theta}$ ในพิกัดนี้ได้ ค่าดังนี้

$$G_{rr} = (\zeta(r)')^2 B(r)^2 - (B(r)')^2 \zeta(r)^2 + 2B(r)' B(r) \zeta(r)^2 / r \quad (4.5)$$

และ

$$G_{\theta\theta} = -(B(r)')^2 \zeta(r)^2 + \zeta(r)^2 B(r) B(r)'' - (\zeta(r)')^2 B(r)^2 + B(r)' B(r) \zeta(r)^2 / r \quad (4.6)$$

เมื่อเราใช้คุณสมบัติของทรงกลมของไอลสมบูรณ์ นั่นคือ $G_{rr} = G_{\theta\theta}$ ทำให้เราได้สมการ

$$\left(\frac{\zeta(r)'}{\zeta(r)} \right)^2 = \frac{B(r)'' - B(r)' / r}{2B(r)} \quad (4.7)$$

กำหนดให้ $\zeta(r) = \exp(\int g(r)dr)$ เราจะได้สมการ

$$g(r) = \pm \sqrt{\frac{B(r)^'' - B(r)' / r}{2B(r)}} \quad (4.8)$$

ซึ่งสามารถเขียนใหม่ได้ในอีกรูปแบบหนึ่งคือ

$$B(r)^'' - \frac{B(r)'}{r} - 2g(r)^2 B(r) = 0 \quad (4.9)$$

ซึ่งเป็นสมการเชิงเอกพันธ์เชิงเส้นอันดับสอง [20]

สำหรับสมการที่ได้ เราจะนำไปใช้ในการพิสูจน์ทฤษฎีบทซึ่งเป็นทฤษฎีที่เกี่ยวกับการแปลงของทรงกลมของไอลสมบูรณ์โดยจะพิจารณาว่าค่าใหม่ที่ได้จะยังคงเป็นทรงกลมของไอลสมบูรณ์หรือไม่ นั่นคือ ผลเฉลยใหม่ที่ได้จะยังคงสอดคล้องกับเงื่อนไข $G_{\hat{r}\hat{r}} = G_{\hat{\theta}\hat{\theta}}$ หรือไม่นั้นเอง

นอกจากนี้จากแนวคิดการกำหนด $\zeta(r) = \exp(\int g(r)dr)$ เราสามารถเขียน $\zeta(r)$ ให้อยู่ในรูปแบบ

$$\exp\left(\pm \sqrt{\frac{B(r)^'' - B(r)' / r}{2B(r)}}\right) \quad (4.10)$$

ดังนั้นเราสามารถเขียนเมตริกได้ในอีกรูปแบบหนึ่งคือ

$$ds^2 = -\exp\left(\pm \int 2\sqrt{\frac{B(r)^'' - B(r)' / r}{2B(r)}} dr\right) dt^2 + \frac{\exp\left(\mp \int 2\sqrt{\frac{B(r)^'' - B(r)' / r}{2B(r)}} dr\right)}{B(r)^2} \{dr^2 + r^2 d\Omega^2\} \quad (4.11)$$

เราจะสมมติให้

$$ds^2 = -\zeta(r)^2 dt^2 + \frac{1}{\zeta(r)^2 B(r)^2} \{dr^2 + r^2 d\Omega^2\}$$

เป็นตัวแทนของทรงกลมของไอลสมบูรณ์ เขียนแทนด้วย $\{\zeta(r), B(r)\}$

จากการวิจัยของ BVW [20] พบร่วมกับทฤษฎีบทต่อไปนี้มีคุณสมบัติเกี่ยวกับการเปลี่ยนแปลงค่าของเมตริก จากเมตริกตั้งต้นเป็นเมตริกใหม่ซึ่งเมตริกใหม่ที่ได้จะยังคงเป็นทรงกลมของไอลสมบูรณ์อยู่ หรือ อาจเรียกได้ว่า มีคุณสมบัติการแปลงจากทรงกลมของไอลสมบูรณ์โดยที่ผลลัพธ์ที่ได้จากการประยุกต์ใช้ทฤษฎีบทยังคงมีสมบัติของทรงกลมของไอลสมบูรณ์ จากนั้นพิจารณาผลลัพธ์เมื่อใส่ทฤษฎีบทเดิมซ้ำกันสองครั้งแล้วการนำสองทฤษฎีบทมาประกอบกัน [20]

4.1 ທຖ່ງວິບທີ 1 (7^{th} BVW or Buchdahl transformation (T_7)) [20]

ກຳຫນດໃຫ້ $\{\zeta_0(r), B_0(r)\}$ ແຕ່ທຽບກລມຂອງໄໜລສມບູຮັນ ຈະໄດ້ວ່າ $\{\zeta_0(r)^{-1}, B_0(r)\}$ ຈະຢັ້ງຄົງເປັນທຽບກລມຂອງໄໜລສມບູຮັນ ນັ້ນຄືອ

$$ds^2 = -\frac{1}{\zeta_0(r)^2} dt^2 + \frac{\zeta_0(r)^2}{B_0(r)^2} \{dr^2 + r^2 d\Omega^2\} \quad (4.12)$$

හີ້ອຄືການແປລ່ງ

$$T_7 : \{\zeta_0, B_0\} \mapsto \{\zeta_0^{-1}, B_0\} \quad (4.13)$$

ພຶສູຈຸນ໌

ກຳຫນດໃຫ້ $\{\zeta_0(r), B_0(r)\}$ ແຕ່ທຽບກລມຂອງໄໜລສມບູຮັນ
ເຮົາຕ້ອງການແສດງວ່າ $\{\zeta_0(r)^{-1}, B_0(r)\}$ ຍັ້ງຄົງເປັນທຽບກລມຂອງໄໜລສມບູຮັນ

ຈາກສມກາຈ (4.7) ຈະໄດ້ວ່າ

$$\left(\frac{\zeta_0(r)'}{\zeta_0(r)} \right)^2 = \frac{B_0(r)'' - B_0(r)' / r}{2B_0(r)} \quad (4.14)$$

ພິຈາລະນາທາງດ້ານໜ້າຍມື້ອຂອງສມກາຈ ດັ່ງນີ້

$$\zeta_0(r) \rightarrow \zeta_0^{-1}(r) : \left(\frac{\zeta_0(r)'}{\zeta_0(r)} \right)^2 \rightarrow \left(\frac{(\zeta_0^{-1}(r))'}{\zeta_0^{-1}(r)} \right)^2 = \left(\frac{\zeta_0(r)'}{\zeta_0(r)} \right)^2 \quad (4.15)$$

ນັ້ນຄືອ $\{\zeta_0(r)^{-1}, B_0(r)\}$ ເປັນທຽບກລມຂອງໄໜລສມບູຮັນ ■

ນອກຈາກນີ້ ເຮົາຈະໄດ້ວ່າ $T_7 \circ T_7 = I$ ໂດຍທີ່ I ດື້ນ ເໂກລັກຊັນ ທີ່ມີຄຸນສມບັດວ່າເນື່ອນໍາປະຢຸກຕີໃຊ້ກັບເມຕຣິກໄດແລ້ວຜລັພົກທີ່ໄດ້ຈະຢັ້ງຄົງເປັນເມຕຣິກເດີມ ເນື່ອງຈາກ $(\zeta_0^{-1})^{-1} = \zeta_0$ ນັ້ນຄືອ ເນື່ອມີການໃຊ້ທຖ່ງວິບທີ 1 ຫ້າຍ 2 ຄວັງ ເຮົາຈະໄດ້ທຽບກລມຂອງໄໜລສມບູຮັນທີ່ເປັນຕັ້ງຕັ້ນ ດັ່ງນີ້

$$T_7 : \{\zeta_0, B_0\} \mapsto \{\zeta_0^{-1}, B_0\} \mapsto \{(\zeta_0^{-1})^{-1}, B_0\} = \{\zeta_0, B_0\} \quad (4.16)$$

ຈາກຄຸນສມບັດນີ້ທຳໃຫ້ ເຮົາສາມາດແບ່ງຄ່າຂອງ $\zeta(r)$ ພັນຈາກການໃຊ້ທຖ່ງວິບທີ 1 ຫ້າກນີ້ n ຄວັງ ອອກເປັນ 2 ກຣນີ ດື້ນ ຊື່ $\zeta(r) = \zeta(r)^{-1}$ ສໍາຮັບ n ທີ່ເປັນຈຳນວນຄື ແລະ $\zeta(r) = \zeta(r)$ ສໍາຮັບ n ທີ່ເປັນຈຳນວນຄື

ຈະພບວ່າໃນທຖ່ງວິບທແກ່ເປັນການເປີ່ມແປລ່ຍນແປລ່ງຄ່າຂອງ $\zeta(r)$ ໂດຍເປີ່ມແປລ່ຍຈາກ $\zeta(r)$ ເປັນ $\zeta^{-1}(r)$ ແລ້ວທຳໃຫ້ເມຕຣິກໃໝ່ທີ່ໄດ້ສອດຄລ້ອງສມບັດຂອງທຽບກລມຂອງໄໜລສມບູຮັນ ແຕ່ສໍາຮັບທຖ່ງວິບທຕ່ອມາເປັນການພິຈາລະນາການເປີ່ມແປລ່ຍນແປລ່ງຄ່າຂອງ $B(r)$ ໂດຍສໍາຮັບທຖ່ງວິບທນີ້ ເຮົາໄດ້ນິຍາມຄ່າຂອງ $Z(r)$ ຂຶ້ນມາ ໂດຍເນື່ອນໍາຄ່າ $Z(r)$ ນີ້ໄປຄຸນກັບ $B(r)$ ຈະທຳໃຫ້ເມຕຣິກໃໝ່ທີ່ໄດ້ສອດຄລ້ອງກັບສມບັດຂອງທຽບກລມຂອງໄໜລສມບູຮັນ ດັ່ງຈະກລ່າວຕ່ອງເປັນ [20]

4.2 ທຸກໝົງປົບທີ 2 (8^{th} BVW transformation (T_8)) [20]

ກຳຫນດໃຫ້ $\{\zeta_0(r), B_0(r)\}$ ແທນທຽບກລມຂອງໄຫລສມບູຮຣັນ ນິຍາມ

$$Z_0 = \left\{ \sigma + \varepsilon \int \frac{r dr}{B_0(r)^2} \right\} \quad (4.17)$$

ສໍາຮັບຖຸກຄ່າ σ ແລະ ε ຈະໄດ້ວ່າ $\{\zeta_0(r), B_0(r)Z_0(r)\}$ ຢັງຄງເປັນທຽບກລມຂອງໄຫລສມບູຮຣັນ ນັ້ນເຄືອ

$$ds^2 = -\zeta_0(r)^2 dt^2 + \frac{1}{\zeta_0(r)^2 B_0(r)^2 Z_0(r)^2} \{dr^2 + r^2 d\Omega^2\} \quad (4.18)$$

ຫວີ່ອດື່ອກາຮແປລງ

$$T_8(\sigma, \varepsilon) : \{\zeta_0, B_0\} \mapsto \{\zeta_0, B_0 Z_0(B_0)\} \quad (4.19)$$

ພຶສູຈົນ

ກຳຫນດໃຫ້ $\{\zeta_0(r), B_0(r)\}$ ແທນທຽບກລມຂອງໄຫລສມບູຮຣັນ

ສມມຕິໃຫ້ $\{\zeta_0(r), B_1(r)\}$ ໂດຍທີ່ $B_1(r) = B_0(r)Z_0(r)$ ເປັນທຽບກລມຂອງໄຫລສມບູຮຣັນ

ເຮົາຕ້ອງກາຮ່າຄ່າຂອງ $Z_0(r)$ ທີ່ໃຫ້ $\{\zeta_0(r), B_1(r)\}$ ມີສົມບັດກາຮເປັນທຽບກລມຂອງໄຫລສມບູຮຣັນ
ຈາກສົມກາຮ (4.7) ຈະໄດ້ວ່າ

$$B_0(r)'' - \frac{B_0(r)'}{r} - 2g(r)^2 B_0(r) = 0$$

ພົຈາວໂນ

$$B_0(r) \rightarrow B_1(r) :$$

ນັ້ນເຄືອ

$$B_1(r)'' - \frac{B_1(r)'}{r} - 2g(r)^2 B_1(r) = 0 \quad (4.20)$$

ເນື່ອງຈາກ $B_1(r) = B_0(r)Z_0(r)$ ຈະໄດ້ວ່າ

$$[B_0(r)Z_0(r)]'' - \frac{[B_0(r)Z_0(r)]'}{r} - 2g(r)^2 [B_0(r)Z_0(r)] = 0 \quad (4.21)$$

ນັ້ນເຄືອ

$$\begin{aligned} & \left[B_0(r)'' Z_0(r) + 2B_0(r)' Z_0(r)' + B_0(r) Z_0(r)'' \right] \\ & - \frac{B_0(r)' Z_0(r)}{r} - \frac{B_0(r) Z_0(r)'}{r} - 2g(r)^2 [B_0(r) Z_0(r)] = 0 \end{aligned} \quad (4.22)$$

ເຮົາສາມາລັດຖະບານໃໝ່ໄດ້ ດັ່ງນີ້

$$\begin{aligned} & \left[B_0(r)'' - \frac{B_0(r)'}{r} - 2g(r)^2 B_0(r) \right] Z_0(r) \\ & + \left[2B_0(r)' - \frac{B_0(r)}{r} \right] Z_0(r)' + B_0(r) Z_0(r)'' = 0 \end{aligned} \quad (4.23)$$

$$\begin{aligned} & \text{ເນື່ອງຈາກ } B_0(r)'' - \frac{B_0(r)'}{r} - 2g(r)^2 B_0(r) = 0 \text{ ດັ່ງນີ້} \\ & \left[2B_0(r)' - \frac{B_0(r)}{r} \right] Z_0(r)' + B_0(r) Z_0(r)'' = 0 \end{aligned} \quad (4.24)$$

ຫົວຂອ

$$\frac{Z_0(r)''}{Z_0(r)'} = \frac{-2B_0(r)'}{B_0(r)} + \frac{1}{r} \quad (4.25)$$

ຈາກຜັນເປີຍນ $\frac{Z_0(r)''}{Z_0(r)'}$ ໃຫ້ອໍາຍືໃນຮູບພາບອອກ $\frac{d \ln Z_0(r)'}{dr}$ ຈະໄດ້ວ່າ

$$\frac{d \ln Z_0(r)'}{dr} = \frac{-2B_0(r)'}{B_0(r)} + \frac{1}{r} \quad (4.26)$$

ເນື່ອອິນທິເກຣຕເທີຍບ r ຈະໄດ້

$$\left. \begin{aligned} \ln Z_0(r)' &= -2 \int \frac{B_0(r)'}{B_0(r)} dr + \int \frac{1}{r} dr \\ &= -2 \ln B_0(r) + \ln r + \ln \varepsilon \\ &= \ln \left(\frac{\varepsilon r}{B_0(r)^2} \right) \end{aligned} \right\} \quad (4.27)$$

ເນື່ອ ε ດືອນທີ່ພາວັນເຕົອວີ

ນັ້ນຄືອ

$$Z_0(r)' = \frac{\varepsilon r}{B_0(r)^2} \quad (4.28)$$

ທຳກາຣອິນທິເກຣຕເທີຍບ r ອີກຄຮ້ງ ຈະໄດ້

$$Z_0(r) = \varepsilon \int \frac{r}{B_0(r)^2} dr + \sigma \quad (4.29)$$

$$\text{ดังนั้น } \{\zeta_0(r), B_0(r)Z_0(r)\} \text{ เป็นทรงกลมของไอลสมบูรณ์ โดยที่ } Z_0 = \left\{ \sigma + \varepsilon \int \frac{rdr}{B_0(r)^2} \right\} \blacksquare$$

นอกจากนี้ ทฤษฎีบทที่ 2 ยังมีสมบัตินิจพลด้วยความว่าเมื่อใช้ทฤษฎีบทที่ 2 ขึ้นจะไม่เกิดผลโดยใหม่นั่นคือ

$$T_8 \circ T_8 \triangleq T_8 \quad (4.30)$$

ต่อไปนี้จะเป็นการพิจารณาการใช้ทฤษฎีบทที่ 1 และ 2 ประกอบกัน โดยเริ่มจากใช้ทฤษฎีบทที่ 1 ก่อนและตามด้วยทฤษฎีบทที่ 2 ได้เป็น步แทรก 3 และเริ่มจากใช้ทฤษฎีบทที่ 2 ก่อนและตามด้วยทฤษฎีบทที่ 1 ได้เป็น步แทรก 4 [20]

4.3 步แทรก 3 ($T_8 \circ T_7$) [20]

กำหนดให้ $\{\zeta_0, B_0\}$ แทนทรงกลมของไอลสมบูรณ์ สำหรับทุกค่า σ และ ε จะได้ว่า $\{\zeta_0^{-1}, B_0 Z_0\}$ ยังคงเป็นทรงกลมของไอลสมบูรณ์โดย

$$Z_0 = \left\{ \sigma + \varepsilon \int \frac{rdr}{B_0(r)^2} \right\}$$

นั่นคือ

$$ds^2 = -\frac{1}{\zeta_0(r)^2} dt^2 + \frac{\zeta_0(r)^2}{B_0(r)^2 Z_0(r)^2} \{dr^2 + r^2 d\Omega^2\} \quad (4.31)$$

หรือคือการแปลง

$$T_8 \circ T_7 : \{\zeta_0, B_0\} \mapsto \{\zeta_0^{-1}, B_0\} \mapsto \{\zeta_0^{-1}, B_0 Z_0(B_0)\} \quad (4.32)$$

4.4 步แทรก 4 ($T_7 \circ T_8$) [20]

กำหนดให้ $\{\zeta_0, B_0\}$ แทนทรงกลมของไอลสมบูรณ์ สำหรับทุกค่า σ และ ε จะได้ว่า $\{\zeta_0^{-1}, B_0 Z_0\}$ ยังคงเป็นทรงกลมของไอลสมบูรณ์โดย

$$Z_0 = \left\{ \sigma + \varepsilon \int \frac{rdr}{B_0(r)^2} \right\}$$

นั่นคือ

$$ds^2 = -\frac{1}{\zeta_0(r)^2} dt^2 + \frac{\zeta_0(r)^2}{B_0(r)^2 Z_0(r)^2} \{dr^2 + r^2 d\Omega^2\}$$

หรือคือการแปลง

$$T_7 \circ T_8 : \{\zeta_0, B_0\} \mapsto \{\zeta_0, B_0 Z_0(B_0)\} \mapsto \{\zeta_0^{-1}, B_0 Z_0(B_0)\} \quad (4.33)$$

สำหรับข้อแตกต่างระหว่าง $T_8 \circ T_7$ และ $T_7 \circ T_8$ คือลำดับของขั้นตอนในการแปลงแต่อย่างไรก็ตาม ผลลัพธ์สุดท้ายจะให้ทรงกลมของไอลสมบูรณ์ตัวเดียวกัน แสดงว่า ทฤษฎีบทที่ 1 และทฤษฎีบทที่ 2 มีสมบัติสลับที่ นั่นคือ

$$T_7 \circ T_8 \triangleq T_8 \circ T_7 \quad (4.34)$$

หลังจากที่เรามีทฤษฎีบทการแปลงและบทแทรกแล้ว เราได้นำทฤษฎีบทเหล่านี้มาประยุกต์ใช้กับทรงกลมของไอลสมบูรณ์แล้วพิจารณาผลลัพธ์เพื่อหาความสัมพันธ์ของทรงกลมของไอลสมบูรณ์ ทำให้เราสามารถจัดกลุ่มของทรงกลมของไอลสมบูรณ์ได้ โดยพิจารณาเลือกเมตริกที่มีรูปแบบของพิกัดไอโซทรอปีจากตารางของ Kayll Lake [32] และใช้ทฤษฎีบทที่ 1, ทฤษฎีบทที่ 2 และบทแทรก 3 (เนื่องจาก บทแทรก 4 ให้ผลลัพธ์เท่ากับ บทแทรก 3) โดยในที่นี่จะเลือกเฉพาะเมตริกที่มีคุณสมบัติทรงกลมของไอลสมบูรณ์ นั่นคือ $G_{rr} = G_{\theta\theta}$ และพิจารณาเมตริกใหม่ ได้ตารางดังนี้

ตารางที่ 1: ตัวอย่างการประยุกต์ทฤษฎีบทที่ 1 กับทรงกลมของไอลสมบูรณ์ในพิกัดไอโซทรอปี

ชื่อ	เมตริก	ทฤษฎีบทที่ 1	พารามิเตอร์
Minkowski	$ds^2 = -dt^2 + dr^2 + r^2 d\Omega^2$	Minkowski	-
S1	$ds^2 = -r^4 dt^2 + dr^2 + r^2 d\Omega^2$	Nariai VI	Nariai VI เมื่อ $\alpha = 48$, $A = a = 0$, $D = B = b = 1$
K-O III	$ds^2 = -A(1+ar^2)^2 dt^2 + dr^2 + r^2 d\Omega^2$	Kuch5 XIII	K-O III เมื่อ $A = 1$, $a = \frac{1}{2}$ Kuch5 XIII เมื่อ $a = -1$, $C = D = 1$
N-P-V Ia $\sqrt{2} < n \leq 2$	$ds^2 = -(ar^{\frac{1+x}{2}} + br^{\frac{1-x}{2}})^2 (Ar^{\frac{1+n}{2}} + Br^{\frac{1-n}{2}})^{-2} dt^2$ $+ (Ar^{\frac{1+n}{2}} + Br^{\frac{1-n}{2}})^{-2} \{dr^2 + r^2 d\Omega^2\}$ เมื่อ $x = \sqrt{2n^2 - 4}$	N-P-V Ia	N-P-V Ia ($n=2$) เมื่อ $a = A$, $b = B$

ตารางที่ 1 (ต่อ): ตัวอย่างการประยุกต์ทฤษฎีบทที่ 1 กับทรงกลมของไหลสมบูรน์ในพิกัดไอเซทรอป

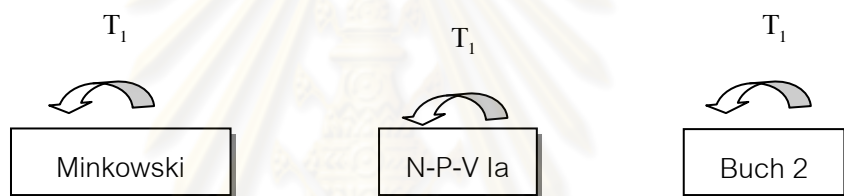
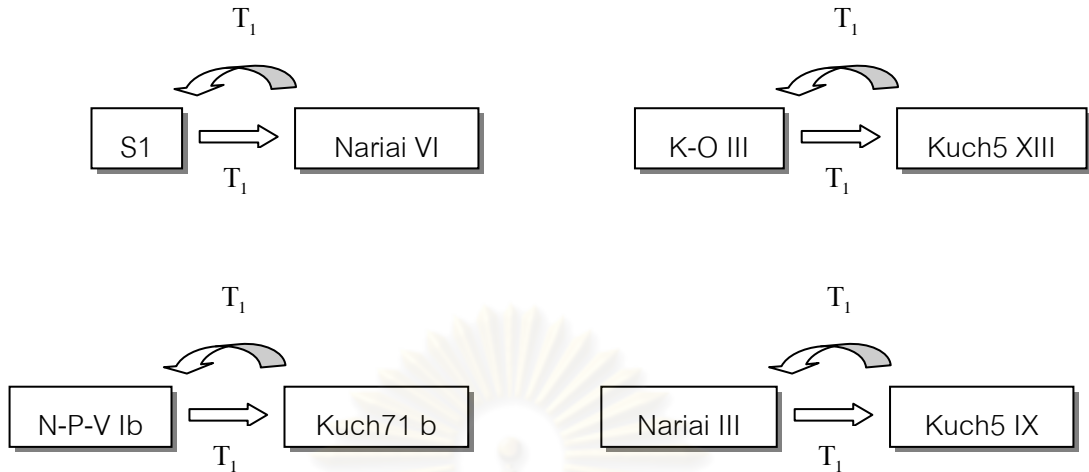
ชื่อ	เมตริก	ทฤษฎีบทที่ 1	พารามิเตอร์
N-P-V Ib $n = \sqrt{2}$	$ds^2 = -(a + b \ln r)^2 (Ar^{\frac{1}{\sqrt{2}}} + Br^{-\frac{1}{\sqrt{2}}})^{-2} dt^2$ $+ (Ar^{1+\frac{1}{\sqrt{2}}} + Br^{1-\frac{1}{\sqrt{2}}})^{-2} \{dr^2 + r^2 d\Omega^2\}$	Kuch 71b	N-P-V Ib เมื่อ $A = a = 1$, $B = b = 0$ Kuch 71b เมื่อ $s = -\frac{1}{\sqrt{2}}$, $a = b = d = 1$, $c = 0$
Nariai III	$ds^2 = - \left[\frac{Ar^2 + B}{q} \right]^q dt^2$ $+ \left[\frac{Ar^2 + B}{q} \right]^{qk} \{dr^2 + r^2 d\Omega^2\}$ เมื่อ $k \neq -1, k \neq 0$ และ $q = \frac{2(1+k)}{k^2 - 2k - 1}$	Kuch5 IX	Nariai III เมื่อ $A = -2, B = 0$ Kuch5 IX เมื่อ $s = \frac{3}{2}, A = B = 1$, $C = 0$
Buch 2	$ds^2 = - \frac{(1-f)^2}{(1+f)^2} dt^2$ $+ (1+f)^4 \{dr^2 + r^2 d\Omega^2\}$ เมื่อ $f = \frac{a}{2\sqrt{1+kr^2}}$	Buch 2	เมื่อประยุกต์ทฤษฎีบทเหลวจัดรูปโดยมองว่า a คือ $-a$

สำหรับรูปแบบเมตริกของ Nariai VI, Kuch5 XIII, Kuch 71b และ Kuch5 IX สามารถดูได้จากภาคผนวก ก

จะสังเกตได้ว่าจากการศึกษาทฤษฎีบทที่ 1 ของ BVW [20] ทำให้เราพบว่าหลังจากที่เราประยุกต์ทฤษฎีบทที่ 1 ผลลัพธ์ที่ได้จะมีลักษณะ 2 แบบ คือ ได้ผลลัพธ์เป็นเมตริกตัวเดิมและผลลัพธ์เป็นเมตริกตัวใหม่ทำให้เราสามารถจัดกลุ่มของทรงกลมของไหลสมบูรน์ออกเป็นเมตริกสร้างได้ (Seed metric) และ เมตริกสร้างไม่ได้ (Non-seed metric) ดังนิยามต่อไปนี้

เมตริกสร้างได้ (Seed metric) คือ เมตริกที่ประยุกต์ใช้ทฤษฎีบทที่ 1 แล้วได้เมตริกใหม่ และ เมตริกสร้างไม่ได้ (Non-seed metric) คือ เมตริกที่ประยุกต์ใช้ทฤษฎีบทที่ 1 แล้วได้เมตริกเดิม

พิจารณาแผนภาพดังนี้



ตารางที่ 2: ตัวอย่างการประยุกต์ทฤษฎีบทที่ 2 กับทรงกลมของไนลส์บูร์โน่ในพิกัดไอโซทรอปี

ชื่อ	เมตริก	ทฤษฎีบทที่ 2	พารามิเตอร์
Minkowski	$ds^2 = -dt^2 + dr^2 + r^2 d\Omega^2$	N-P-V Ia	N-P-V Ia เมื่อ $n = 2$, $A = a = \frac{\epsilon}{2}$, $B = b = \sigma$
S1	$ds^2 = -r^4 dt^2 + dr^2 + r^2 d\Omega^2$	Nariai VI	S1 เมื่อ $\sigma = 0$, $\epsilon = 6$ Nariai VI เมื่อ $\alpha = 48$, $A = a = D = 1$, $B = b = 0$

ตารางที่ 2 (ต่อ): ตัวอย่างการประยุกต์ทฤษฎีบีบที่ 2 กับทรงกลมของไฟลสมบูรณ์ในพิกัดไอเซทรอป

ชื่อ	เมตริก	ทฤษฎีบีบที่ 2	พารามิเตอร์
K-O III	$ds^2 = -A(1+ar^2)^2 dt^2 + dr^2 + r^2 d\Omega^2$	K1	K1 คือ เมตริกใหม่
N-P-V Ia $\sqrt{2} < n \leq 2$	$ds^2 = -(ar^{\frac{1+x}{2}} + br^{\frac{1-x}{2}})^2 (Ar^{\frac{1+n}{2}} + Br^{\frac{1-n}{2}})^{-2} dt^2$ $+ (Ar^{\frac{1+n}{2}} + Br^{\frac{1-n}{2}})^{-2} \{dr^2 + r^2 d\Omega^2\}$ <p>เมื่อ $x = \sqrt{2n^2 - 4}$</p>	N-P-V Ia	ผลจากคุณสมบัตินิจ พล และ ผลลัพธ์เมื่อ ประยุกต์ทฤษฎีบีบที่ 2 กับ Minkowski แล้วได้ N-P-V Ia
N-P-V Ib $n = \sqrt{2}$	$ds^2 = -(a + b \ln r)^2 (Ar^{\frac{1}{\sqrt{2}}} + Br^{-\frac{1}{\sqrt{2}}})^{-2} dt^2$ $+ (Ar^{\frac{1}{\sqrt{2}}} + Br^{-\frac{1}{\sqrt{2}}})^{-2} \{dr^2 + r^2 d\Omega^2\}$	N-P-V Ia	N-P-V Ib เมื่อ $a = B = 1$, $A = b = \sigma = 0$, $\varepsilon = \varepsilon$ N-P-V Ia เมื่อ $n = \sqrt{2}$, $a = B = 1$, $b = A = 0$
Nariai III	$ds^2 = - \left[\frac{Ar^2 + B}{q} \right]^q dt^2$ $+ \left[\frac{Ar^2 + B}{q} \right]^{qk} \{dr^2 + r^2 d\Omega^2\}$ <p>เมื่อ $k \neq -1, k \neq 0$ และ $q = \frac{2(1+k)}{k^2 - 2k - 1}$</p>	Nariai VI	Nariai III เมื่อ $A = -2$, $B = \sigma = 0$, $\varepsilon = 6$ Nariai VI เมื่อ $\alpha = 48$, $A = a = 0$, $B = b = D = 1$
Buch 2	$ds^2 = - \frac{(1-f)^2}{(1+f)^2} dt^2$ $+ (1+f)^4 \{dr^2 + r^2 d\Omega^2\}$ <p>เมื่อ $f = \frac{a}{2\sqrt{1+kr^2}}$</p>	K2	K2 คือ เมตริกใหม่

สำหรับรูปแบบเมตริกของ Nariai VI, K1 และ K2 สามารถดูได้จากภาคผนวก ก

ตารางที่ 3: ตัวอย่างการประยุกต์บทแทรก 3 กับทรงกลมของไฟลสมบูรณ์ในพิกัดโคไซดราบี

ชื่อ	เมตริก	บทแทรก 3	พารามิเตอร์
Minkowski	$ds^2 = -dt^2 + dr^2 + r^2 d\Omega^2$	N-P-V Ia	N-P-V Ia เมื่อ $n = 2$, $A = a = \frac{\varepsilon}{2}$, $B = b = \sigma$
S1	$ds^2 = -r^4 dt^2 + dr^2 + r^2 d\Omega^2$	Nariai VI	S1 เมื่อ $\sigma = 0$, $\varepsilon = 6$, Nariai VI เมื่อ $\alpha = B = a = 0$, $A = b = D = 1$
K-O III	$ds^2 = -A(1+ar^2)^2 dt^2 + dr^2 + r^2 d\Omega^2$	K3	K3 คือ เมตริกใหม่
N-P-V Ia $\sqrt{2} < n \leq 2$	$ds^2 = -(ar^{\frac{1+x}{2}} + br^{\frac{1-x}{2}})^2 (Ar^{\frac{1+n}{2}} + Br^{\frac{1-n}{2}})^{-2} dt^2$ $+ (Ar^{\frac{1+n}{2}} + Br^{\frac{1-n}{2}})^{-2} \{dr^2 + r^2 d\Omega^2\}$ เมื่อ $x = \sqrt{2n^2 - 4}$	N-P-V Ia	ผลจากการประยุกต์ ทฤษฎีบบที่ 1 และ 2 แล้วยังคงได้เป็น N-P-V Ia
N-P-V Ib $n = \sqrt{2}$	$ds^2 = -(a + b \ln r)^2 (Ar^{\frac{1}{\sqrt{2}}} + Br^{-\frac{1}{\sqrt{2}}})^{-2} dt^2$ $+ (Ar^{\frac{1}{\sqrt{2}}} + Br^{-\frac{1}{\sqrt{2}}})^{-2} \{dr^2 + r^2 d\Omega^2\}$	Nariai VI	N-P-V Ib เมื่อ $a = B = 1$, $\varepsilon = \varepsilon$, $b = A = \sigma = 0$, Nariai VI เมื่อ $A = a = 0$, $B = b = D = 1$, $\alpha = 7$, $p = 2\sqrt{2}$, $q = \frac{3\sqrt{2}}{2}$
Nariai III	$ds^2 = - \left[\frac{Ar^2 + B}{q} \right]^q dt^2$ $+ \left[\frac{Ar^2 + B}{q} \right]^{qk} \{dr^2 + r^2 d\Omega^2\}$ เมื่อ $k \neq -1, k \neq 0$ และ $q = \frac{2(1+k)}{k^2 - 2k - 1}$	S1	Nariai III เมื่อ $A = -2$, $B = \sigma = 0$, $\varepsilon = 6$

ตารางที่ 3 (ต่อ): ตัวอย่างการประยุกต์บทแทรกร 3 กับทรงกลมของไ碌ล์สันในพิกัดไอโซทรอปี

ชื่อ	เมตริก	บทแทรกร 3	พารามิเตอร์
Buch 2	$ds^2 = -\frac{(1-f)^2}{(1+f)^2} dt^2 + (1+f)^4 \{dr^2 + r^2 d\Omega^2\}$ $\text{เมื่อ } f = \frac{a}{2\sqrt{1+kr^2}}$	K2	K2 คือ เมตริกใหม่

สำหรับรูปแบบเมตริกของ Nariai VI, K2 และ K3 สามารถได้จากการผนวก ก

สำหรับทฤษฎีบทที่จะกล่าวต่อไปเป็นการพัฒนาจากทฤษฎีบทของ BVW [20] โดยที่รูปแบบเมตริกในทฤษฎีบทของ BVW จะอยู่ในรูปของ $\zeta(r)$ และ $B(r)$ แต่ทฤษฎีบทใหม่ที่จะนำเสนอต่อไปนี้ เราจะจัดรูปแบบของเมตริกให้อยู่ในรูปของ $B(r)$ เท่านั้น ดังนี้

4.5 ทฤษฎีบทใหม่ (Modified Theorem)

4.5.1 ทฤษฎีบทที่ 5

พิจารณาเมตริกของทรงกลมของไลด์สัน

$$ds^2 = -\exp\left(\pm\int 2\sqrt{\frac{B(r)'' - B(r)' / r}{2B(r)}} dr\right) dt^2 + \frac{\exp\left(\mp\int 2\sqrt{\frac{B(r)'' - B(r)' / r}{2B(r)}} dr\right)}{B(r)^2} \{dr^2 + r^2 d\Omega^2\}$$

ดังนั้น สำหรับ σ , ε และ $B(r)$ ใดๆ เราจะได้ว่า

$$\begin{aligned}
 ds^2 &= -\exp\left(\mp\int 2\sqrt{\frac{B(r)'' - B(r)' / r}{2B(r)}} dr\right) dt^2 \\
 &\quad + \frac{\exp\left(\pm\int 2\sqrt{\frac{B(r)'' - B(r)' / r}{2B(r)}} dr\right)}{B(r)^2 \left[\sigma + \varepsilon \int \frac{r dr}{B(r)^2} \right]^2} \{dr^2 + r^2 d\Omega^2\}
 \end{aligned} \tag{4.35}$$

ยังคงเป็นทรงกลมของไลด์สัน

พิธีกรรม

จากเมตริกของทรงกลมของไอลสมบูรณ์ คือ

$$ds^2 = -\exp \left(\pm \int 2 \sqrt{\frac{B(r)'' - B(r)' / r}{2B(r)}} dr \right) dt^2 + \frac{\exp \left(\mp \int 2 \sqrt{\frac{B(r)'' - B(r)' / r}{2B(r)}} dr \right)}{B(r)^2} \{dr^2 + r^2 d\Omega^2\}$$

โดยที่

$$\zeta(r) = \exp \left(\pm \int \sqrt{\frac{B(r)'' - B(r)' / r}{2B(r)}} dr \right) \quad (4.36)$$

ดังนั้น

$$\zeta(r)^2 = \exp \left(\pm \int 2 \sqrt{\frac{B(r)'' - B(r)' / r}{2B(r)}} dr \right) \quad (4.37)$$

และ

$$\frac{1}{\zeta(r)^2} = \exp \left(\mp \int 2 \sqrt{\frac{B(r)'' - B(r)' / r}{2B(r)}} dr \right) \quad (4.38)$$

พิจารณาเมตริกที่เกิดจากการประยุกต์บทแทรก 3 นั่นคือ

$$ds^2 = -\frac{1}{\zeta_0(r)^2} dt^2 + \frac{\zeta_0(r)^2}{B_0(r)^2 Z_0(r)^2} \{dr^2 + r^2 d\Omega^2\}$$

โดยที่

$$Z_0 = \left\{ \sigma + \varepsilon \int \frac{r dr}{B_0(r)^2} \right\}$$

ดังนั้น เราจะได้เมตริกใหม่ ดังนี้

$$ds^2 = -\exp \left(\mp \int 2 \sqrt{\frac{B(r)'' - B(r)' / r}{2B(r)}} dr \right) dt^2 + \frac{\exp \left(\pm \int 2 \sqrt{\frac{B(r)'' - B(r)' / r}{2B(r)}} dr \right)}{B(r)^2 \left[\sigma + \varepsilon \int \frac{r dr}{B(r)^2} \right]^2} \{dr^2 + r^2 d\Omega^2\}$$

เป็นทรงกลมของไอลสมบูรณ์ โดยที่ σ และ ε เป็นพารามิเตอร์ใด ๆ

ตารางที่ 4: ตัวอย่างการประยุกต์ทฤษฎีบบที่ 5 กับทรงกลมของไหลสมบูรณะในพิกัดไอโซทรอปี

$B(r)$	เมตริก	ชื่อ	ทฤษฎีบบที่ 5	พารามิเตอร์
1	$ds^2 = -dt^2 + dr^2 + r^2 d\Omega^2$	Minkowski	N-P-V Ia	N-P-V Ia เมื่อ $n = 2$, $A = a = \frac{\varepsilon}{2}$, $B = b = \sigma$
r^2	$ds^2 = -dt^2 + \frac{1}{r^4} \{dr^2 + r^2 d\Omega^2\}$	N-P-V Ia	N-P-V Ia	N-P-V Ia เมื่อ $n = 2$, $A = 1, B = a = b = 0$ และผลจากการ ประยุกต์บทแทรกกับ N-P-V Ia
$\frac{1}{r}$	$ds^2 = -r^{\sqrt{6}} dt^2 + r^{2-\sqrt{6}} \{dr^2 + r^2 d\Omega^2\}$	Kuch 71b	K4	Kuch 71b เมื่อ $c = 0$, $a = b = d = s = 1$ K4 คือ เมตริกใหม่
$\frac{1}{r^2}$	$ds^2 = -r^4 dt^2 + dr^2 + r^2 d\Omega^2$	S1	Nariai VI	S1 เมื่อ $\sigma = 0$, $\varepsilon = 6$, Nariai VI เมื่อ $\alpha = 0, D = 1$, $A = 1, B = 0$, $a = 0, b = 1$

สำหรับรูปแบบเมตริกของ Nariai VI และ K4 สามารถดูได้จากภาคผนวก ก

จากรูปแบบของเมตริกที่อยู่ในรูปของ $B(r)$ เท่านั้น ทำให้เมื่อเราพัฒนาทฤษฎีบบทหาร
แบบของทรงกลมของไหลสมบูรณะจากแนวคิดของ BVV จะพบว่า จากเดิมที่เราต้องพิจารณาห้อง
ค่าของ $\zeta(r)$ และ $B(r)$ แต่ทฤษฎีบบที่ใหม่นี้เราจะพิจารณาเฉพาะค่าของ $B(r)$ โดยที่เมตริก
ใหม่ที่ได้จะอยู่ในรูปแบบของ $B(r)$, σ และ ε เป็นพารามิเตอร์ได้ ๆ

บทที่ 5

สรุป (Conclusion)

การศึกษาระบบจัดการภายในส่วนของการสำรวจดูงาน หากเราใช้การปฏิบัติโดยตรงจะมีความเป็นไปได้ยาก เนื่องจากเทคโนโลยีในปัจจุบันยังมีข้อจำกัดอยู่มาก ดังนั้น เราจึงจำเป็นต้องสร้างแบบจำลองซึ่งเป็นแบบจำลองดูงานเสมือนจริงเพื่อที่จะใช้แบบจำลองนี้เป็นตัวแทนดูงานภายในจัดการเพื่อศึกษาลักษณะ คุณสมบัติ และสร้างทฤษฎีบทที่เกี่ยวข้อง และเนื่องจากการศึกษานี้เป็นการศึกษาเกี่ยวกับจัดการ ดังนั้นเราจำเป็นต้องศึกษาลักษณะต่าง ๆ ของจัดการ หรือปัจจัยที่ส่งผลกระทบต่อวัตถุที่จำลองอยู่ในจัดการ ด้วย ทั้งนี้ อัลเบิร์ต ไอน์สไตน์ ได้พิจารณาว่า แสงมีอัตราเร็วที่คงที่ ไม่ว่าผู้สังเกตนั้นจะอยู่ในห้องเคลื่อนที่จะสามารถวัดความเร็วของแสงได้ เท่ากันหมด จากข้อมูลนี้เองทำให้ไอน์สไตน์ได้รวมเอาปริภูมิ 3 มิติ รวมเข้ากับเวลา และเรียกปริภูมิ 4 มิตินี้ว่า “ปริภูมิเวลาอว拉斯” นอกจากนี้เขายังได้นำเสนอทฤษฎีสัมพัทธภาพพิเศษและทฤษฎีสัมพัทธภาพทั่วไปซึ่งเป็นทฤษฎีเชิงเดาคณิต อีกด้วย เนื่องจากความสามารถในการคำนวณและการประมวลผลที่มีความแม่นยำเป็นอย่างยิ่งในการศึกษา

5.1 สัมพัทธภาพพิเศษ

สัมพัทธภาพหรือทฤษฎีสัมพัทธภาพของไอน์สไตน์เป็นทฤษฎีที่หักล้างแนวคิดทฤษฎีสัมพัทธภาพของการลิเลโอนิรွงของการมีปริภูมิสมบูรณ์และเวลาสมบูรณ์ โดยกล่าวว่าจะต้องทางและเวลาจะขึ้นอยู่กับผู้สังเกตโดยจะมีความแตกต่างกันหากผู้สังเกตมีสถานะต่างกัน แต่อย่างไรก็ตามผู้สังเกตทุกคนจะวัดอัตราเร็วของแสงได้เท่ากันเสมอ

สำหรับในส่วนของทฤษฎีสมมพทธภาพพิเศษเป็นการกล่าวถึงการประยุกต์หลักสมมพทธภาพเข้ากับกรอบอ้างอิงเฉพาะที่เราเรียกว่า กรอบอ้างอิงเชือย เท่านั้น โดยกรอบอ้างอิงนี้มีสมบัติที่ว่า หากวัตถุอยู่ในจักรองค์อยู่ในจักรองค์ตลอดไป หรือหากวัตถุนั้นเคลื่อนที่จะจะเคลื่อนที่ด้วยความเร็วที่คงที่นั่นคือไม่มีความเร่งมาเกี่ยวข้องนั่นเอง นอกจากนี้รายังสรุปสมมติฐานของไอน์สไตน์ออกเป็น 2 ข้อด้วยกัน ดังนี้

1. สมมติฐานข้อแรก (หลักสัมพัทธภาพอย่างพิเศษ) กฎทางพิสิกส์ยอมเหมือนกันในทุกกรอบอ้างอิงเดียว นั่นคือ ไม่มีกรอบอ้างอิงพิเศษใด ๆ

2. สมมติฐานข้อที่สอง (ความไม่แปรเปลี่ยนของความเร็วแสง) อัตราเร็วของแสงในสูญญากาศเป็นค่าคงที่สากล ($c = 3 \times 10^8 \text{ m/s}$) ซึ่งไม่ขึ้นอยู่กับการเคลื่อนที่ของแหล่งกำเนิดแสงนั้น

จากสมบัตินี้เองทำให้เราสนใจการแปลงพิกัดในปริภูมิเวลาอว拉斯ที่จากเดิมเราศึกษาการแปลงแบบการลีโน่ถือว่าเวลาเป็นสิ่งสมบูรณ์ คือมีค่าเท่ากัน แต่ในสัมพัทธภาพพิเศษนี้ เราจะศึกษาการแปลงแบบลดเรนซ์ โดยการแปลงนี้ถือว่าเวลาไม่มีค่าไม่เท่ากันโดยที่มีส่วนที่เรียกว่า Lorentz factor ที่มีค่าของความเร็วแสงมาเกี่ยวข้องเป็นตัวเชื่อมความสัมพันธ์ระหว่าง 2 พิกัด ดังนั้นผลจากการแปลงลดเรนซ์ทำให้เรามีป光กฎการณ์สำคัญเกิดขึ้น เช่น สัมพัทธภาพแห่งความพร้อมเพรียง การยืดอุ กของเวลา การหดของระยะทาง เป็นต้น

5.2 สัมพัทธภาพทั่วไป

หลังจากที่ไอ้นส์ไตน์ได้นำเสนอสัมพัทธภาพพิเศษแล้ว เขายังพยายามทำการศึกษาโดยทำให้ทฤษฎีสัมพัทธภาพใช้ได้กับทุกรอบอ้างอิง ดังนั้น เขายังได้นำเสนอ “ทฤษฎีสัมพัทธภาพทั่วไป” ซึ่งเป็นทฤษฎีที่สามารถใช้ได้กับกรอบอ้างอิงทั่วไปนั่นคือรวมถึงกรอบอ้างอิงที่มีความเร่งเข้ามาเกี่ยวข้อง ซึ่งความเร่งนี้ก็คือแรงโน้มถ่วงนั่นเอง

ทฤษฎีสัมพัทธภาพทั่วไปใช้เวลาคณิตเชิงอนุพันธ์และแทนเชอร์ในการอธิบายความโน้มถ่วง แสดงให้เห็นว่าผู้สั่งเกตทุกคนเหมือนกันไม่ว่าเคลื่อนที่ด้วยอัตราเร็วคงที่หรือมีความเร่งมาเกี่ยวข้อง กับของทฤษฎีนี้จะเหมือนกันสำหรับผู้สั่งเกตทุกคน ในทฤษฎีสัมพัทธภาพทั่วไป แรงโน้มถ่วงไม่ได้เป็นแรงอย่างในกฎแรงโน้มถ่วงของนิวตันอีกต่อไป แต่เป็นผลจากการโครงสร้างของปริภูมิเวลาอว拉斯

นอกจากนี้ไอ้นส์ไตน์ได้นำเสนอสมการที่มีความน่าสนใจและมีความสำคัญอย่างยิ่งในวิทยานิพนธ์เล่มนี้ นั่นคือ สมการไอ้นส์ไตน์ หรือ สมการสนามของไอ้นส์ไตน์ โดยเป็นสมการสนามที่แสดงความสัมพันธ์ระหว่างความโค้งของปริภูมิเวลาอว拉斯และมวลหรือสาร ซึ่งอยู่ในรูปแบบของสมการเทนเซอร์

5.3 ทรงกลมของไอลสมบูรณ์

ในส่วนของการสร้างแบบจำลองของดวงดาว เราได้เลือกใช้แบบจำลองที่เรียกว่า “ทรงกลมของไอลสมบูรณ์” ถือเป็นการประมาณขั้นพื้นฐานของแบบจำลองของดวงดาว โดยเราใช้สมบัติของความเป็นทรงกลมของไอลสมบูรณ์รวมกับสมการสนามของไอ้นส์ไตน์ทำให้มีสมการเชิงอนุพันธ์เกิดขึ้น

สำหรับการศึกษาผลศาสตร์ของให้ผลซึ่งถือเป็นส่วนหนึ่งของกลศาสตร์การเคลื่อนที่ โดยของให้ผล คือ สาระซึ่งสามารถให้ผลได้มีรูปร่างไม่แน่นอนขึ้นอยู่กับภาชนะที่บรรจุ โดยความสามารถพิจารณาของให้ผลในรูปแบบของเทนเซอร์ความเค้นพลังงาน นอกจากที่เราศึกษาแบบจำลองที่เป็นของให้ผลแล้ว เรา秧เจาะจงที่จะพิจารณาของให้ผลที่มีสมบัติที่ว่า ไม่มีความหนืด ไม่นำความร้อน และมีสมบัติไอโซทรอปี จากสมบัติที่กล่าวมีเงื่อง เราจะเรียกของให้ผลชนิดนี้ว่า “ของให้ผลสมบูรณ์” และเนื่องจากเราต้องการสร้างแบบจำลองของดวงดาว เราจึงกำหนดให้แบบจำลองนั้นเป็นทรงกลมซึ่งถือว่าเป็นรูปแบบทางเรขาคณิตที่พบได้ทั่วไปของลักษณะของดวงดาว

จากที่ได้กล่าวไว้ว่าเราจะนำสมบัติของความเป็นทรงกลมของให้ผลสมบูรณ์นี้รวมเข้ากับสมการสนานของไอ昂ส์ไตน์โดยมีความเกี่ยวเนื่องกันในส่วนของเทนเซอร์ความเค้นพลังงานที่เป็นส่วนประกอบของสมการสนานของไอ昂ส์ไตน์ และจากที่เราใช้ความเป็นของให้ผลสมบูรณ์ ตัวแทนเซอร์ความเค้นพลังงานจะอยู่ในรูปแบบของเมตริกท์แบบมุ่งทำให้เราสามารถหาความสัมพันธ์ของไอ昂ส์ไตน์เทนเซอร์ในแต่ละองค์ประกอบได้ นั่นคือ จะมีค่าเท่ากันนั่นเอง

5.4 ทฤษฎีสำหรับทรงกลมของให้ผลสมบูรณ์ในพิกัดไอโซทรอปี

จากความสัมพันธ์ขององค์ประกอบของไอ昂ส์ไตน์เทนเซอร์แต่ละตัวที่กล่าวได้ว่าจะมีค่าเท่ากันถ้าเราพิจารณาในรูปแบบของทรงกลมของให้ผลสมบูรณ์แล้ว เมื่อเราคำนวณหาค่าของไอ昂ส์ไตน์เทนเซอร์แต่ละตัวโดยที่พิกัดของทรงกลมของให้ผลสมบูรณ์นี้มีอยู่หลายพิกัดด้วยกัน แต่สำหรับวิทยานิพนธ์นี้ เราจะพิจารณาในรูปแบบของพิกัดไอโซทรอปี ซึ่งเป็นพิกัดที่มีลักษณะเด่นคือ ค่าสัมประสิทธิ์ขององค์ประกอบของปริภูมิจะมีค่าเท่ากัน

หลังจากที่เราคำนวณหาค่าไอ昂ส์ไตน์เทนเซอร์แต่ละตัวมาแล้ว เราเมื่อคุณสมบัติที่ว่า หากเป็นทรงกลมของให้ผลสมบูรณ์ ค่าไอ昂ส์ไตน์เทนเซอร์นี้จะต้องเท่ากัน ทำให้มีสมการเชิงอนุพันธ์เกิดขึ้นซึ่งสมการเชิงอนุพันธ์นี้เราสามารถจัดรูปแบบได้ในรูปของ $\zeta(r)$ หรือ $B(r)$ ตามความเหมาะสมของการพิจารณาการสร้างทฤษฎีบท และสมการนี้เองถือว่าเป็นหลักสำคัญ เพราะเราสามารถบอกได้ว่าเมตริกที่เราพิจารณาเป็นทรงกลมของให้ผลสมบูรณ์หรือไม่นั้นขึ้นอยู่กับว่าค่าของ $\zeta(r)$ และ $B(r)$ สอดคล้องกับสมการเชิงอนุพันธ์นี้หรือไม่นั้นเอง ซึ่งแนวคิดนี้เองเป็นแนวคิดที่มาจากการวิจัยของ BVW ที่ได้ศึกษาทฤษฎีบทสำหรับการแปลงของทรงกลมของให้ผลสมบูรณ์ในพิกัดต่าง ๆ ซึ่งรวมถึงพิกัดไอโซทรอปีด้วย

โดย BVW ได้เสนอทฤษฎีบทสำหรับทรงกลมของให้ผลสมบูรณ์ในพิกัดไอโซทรอปีไว้ 2 ทฤษฎีบทและอีก 2 บทแทรก โดยที่บทแทรกทั้งสองได้ให้ผลลัพธ์ที่เท่ากัน สำหรับในวิทยานิพนธ์เล่มนี้ เป็นการศึกษาต่อยอดจากการวิจัยของ BVW โดยเริ่มจากการศึกษารูปแบบของทฤษฎีบทและทำ

ความเข้าใจที่มากของทฤษฎีบพ จากนั้นได้นำทฤษฎีบพและบทเทอกเหล่านี้มาประยุกต์ใช้จริงกับ เมตริกของทรงกลมของให้สมบูรณ์ที่ได้รับการรวบรวมโดย Kayll Lake โดยที่เราเลือกเมตริกที่มี รูปแบบของพิกัดไอโซทรอปี เมื่อเราคำนวณประยุกต์ให้แล้ว ทำให้เราสามารถหาความลับพันธุ์ของ เมตริกแต่ละตัวได้ นอกจากนี้ เมื่อสังเกตผลจากการประยุกต์ทฤษฎีบพที่ 1 พบว่า เราสามารถ แบ่งกลุ่มของทรงกลมของให้สมบูรณ์ออกได้เป็น 2 กลุ่ม ดังนี้ เมตริกสร้างได้ (Seed metric) คือ เมตริกที่ประยุกต์ทฤษฎีบพที่ 1 แล้วได้เมตริกใหม่ ส่วนอีกกลุ่มคือ เมตริกสร้างไม่ได้ (Non-seed metric) คือ เมตริกที่ประยุกต์ทฤษฎีบพที่ 1 แล้วยังคงได้เมตริกตัวเดิม

ในส่วนสุดท้ายของวิทยานิพนธ์นี้ เป็นการสร้างทฤษฎีบพใหม่ยึดหลักตามแนวคิดของ BVW แต่ เรายังได้ทำการตัดแปลงรูปแบบทั่วไปของเมตริกของทรงกลมของให้สมบูรณ์เดิม จากที่ BVW ได้ พิจารณาโดยติดอยู่ในรูปแบบของตัวแปร 2 ตัว คือ $\zeta(r)$ และ $B(r)$ โดยเราจะเขียน $\zeta(r)$ ให้ อยู่ในรูปแบบของ $B(r)$ ทำให้รูปแบบทั่วไปของเมตริกเมตริกของทรงกลมของให้สมบูรณ์อยู่ใน รูปแบบของตัวแปรตัวเดียว นั่นคือ $B(r)$ ทำให้เราสามารถสร้างทฤษฎีบพใหม่ที่ให้ค่า $B(r)$, σ และ ϵ เป็นพารามิเตอร์ได้ ๆ

สำหรับการประยุกต์ทฤษฎีบพที่ 2 บทเทอก และทฤษฎีบพใหม่ ทำให้เราค้นพบเมตริกใหม่ 4 เมตริก ซึ่งเป็นเมตริกใหม่โดยเมื่อจัดค่าพารามิเตอร์แล้วไม่ต้องกับเมตริกจากตารางของ Kayll Lake นั่นคือ K1, K2, K3 และ K4 ซึ่งสามารถดูรูปแบบของเมตริกได้จากภาคผนวกท้ายเล่ม

ศูนย์วิทยทรัพยากร
จุฬาลงกรณ์มหาวิทยาลัย

รายการอ้างอิง

- [1] **กลศาสตร์ของไฟล์** [ออนไลน์], 2 มกราคม 2554. แหล่งที่มา www.sci.rmuti.ac.th/physics/physics1/Phys1_Chapter_08.pdf.
- [2] **การนำความร้อน** [ออนไลน์], 3 กุมภาพันธ์ 2554. แหล่งที่มา http://203.172.208.244/web/stu19/site2_2/index3.html.
- [3] **การพาความร้อน** [ออนไลน์], 3 กุมภาพันธ์ 2554. แหล่งที่มา https://www.myfirstbrain.com/main_view.aspx?ID=29923.
- [4] **ขวัญ อะระยะชนิดกุล, ทฤษฎีสัมพัทธภาพทั่วไป** [ออนไลน์], 18 กุมภาพันธ์ 2554. แหล่งที่มา www.sc.mahidol.ac.th/scpy/penthai/articles/newsletter/newsletter4.pdf.
- [5] **ขวัญ อะระยะชนิดกุล, ทฤษฎีสัมพัทธภาพทั่วไป** [ออนไลน์], 18 กุมภาพันธ์ 2554. แหล่งที่มา www.sc.mahidol.ac.th/scpy/penthai/articles/newsletter/newsletter5.pdf.
- [6] **ของไฟล์** [ออนไลน์], 2 มกราคม 2554. แหล่งที่มา www.mwit.ac.th/~kitipong/work/fluid.doc.
- [7] **เฉลี่ยว มนีเดช. ทฤษฎีสัมพัทธภาพพิเศษและทฤษฎีสัมพัทธภาพทั่วไป Special and General Theories of Relativity.** กทม. : จุฬาลงกรณ์มหาวิทยาลัยสตอกโฮล์ม.
- [8] **ณกุทธิ์ ปีภูกรัชต์, ทฤษฎีสัมพัทธภาพทั่วไปและเอกภพวิทยา,** มหาวิทยาลัยสตอกโฮล์ม, ภาควิชาฟิสิกส์ คณะวิทยาศาสตร์ [ออนไลน์], 18 กุมภาพันธ์ 2554. แหล่งที่มา www.physto.se/~narit/gravity.pdf.
- [9] **ทฤษฎีสัมพัทธภาพ** [ออนไลน์], 18 กุมภาพันธ์ 2554. แหล่งที่มา http://202.28.94.55/web/322103/2551/work1/g63/relativity_lecture_notes.pdf.
- [10] **ทฤษฎีสัมพัทธภาพพิเศษ** [ออนไลน์], 18 กุมภาพันธ์ 2554. แหล่งที่มา <http://www.rmutphysics.com/charud/scibook/vichaipage/chap8.pdf>.
- [11] **ทฤษฎีสัมพัทธภาพพิเศษ** [ออนไลน์], 18 กุมภาพันธ์ 2554. แหล่งที่มา <http://www.scientech.nrru.ac.th/physic/files/Chp%206091211022417.pdf>.
- [12] **ทรงกลม** [ออนไลน์], 3 กุมภาพันธ์ 2554. แหล่งที่มา <http://www4.eduzones.com/dena/3818>.
- [13] **แนะนำแทนเซอร์** [ออนไลน์], 20 กุมภาพันธ์ 2554. แหล่งที่มา <http://www.kmitl.ac.th/~kcpakkin/intro.html>.
- [14] **พิลิกส์ราชมงคล, ความหนืดของของไฟล์** [ออนไลน์], 3 กุมภาพันธ์ 2554. แหล่งที่มา www.rmutphysics.com/charud/PDF-learning/4.../lecture20.pdf

- [15] ภาควิชาฟิสิกส์ คณะวิทยาศาสตร์ มหาวิทยาลัยเทคโนโลยีราชมงคล, **ทฤษฎีสัมพัทธภาพ** [ออนไลน์], 18 กุมภาพันธ์ 2554. แหล่งที่มา www.rmutphysics.com/physics/oldfront/64/relativity.html.
- [16] อภิธานศัพท์ฟิสิกส์, **กาลօວກາສ** [ออนไลน์], 20 กุมภาพันธ์ 2554. แหล่งที่มา http://www.neutron.rmutphysics.com/physics-glossary/index.php?option=com_content&task=view&id=4713&Itemid=60.
- [17] อรรถกถา จัต្តภูมิ, **Lecture note: ทฤษฎีสัมพัทธภาพพิเศษเบื้องต้น** [ออนไลน์], 21 กุมภาพันธ์ 2554. แหล่งที่มา www.vcharkarn.com/varticle/18983.
- [18] Bamse,: **components of the stress-energy tensor** [Online].(n.d.). Available from: <http://en.wikipedia.org/wiki/File:StressEnergyTensor.svg>. [2011,February 3]
- [19] Berger, S., Hojman, R. and Santamarina, J.: **General exact solutions of Einstein equations for static perfect fluids with spherical symmetry**, *J. Math. Phys.* **28** (1987) 2949.
- [20] Boonserm, P.: **Some exact solutions in general relativity**, MSc thesis, Victoria University of Wellington, arXiv:gr-qc/0610149.
- [21] Boonserm, P., Visser, M. and Weinfurtner, S.: **Solution generating theorems for perfect fluid spheres**, *Journal of Physics: Conference Series* **68** (2007) 012055, [arXiv:gr-qc/0609088].
- [22] Boonserm, P., Visser, M. and Weinfurtner, S.: **Generating perfect fluid spheres in general relativity**, *Phys. Rev. D* **71** (2005) 124037. [arXiv:gr-qc/0503007].
- [23] Boonserm, P., Visser, M. and Weinfurtner, S.: **Solution generating theorems for the TOV equation**, gr-qc/0607001.
- [24] Boonserm, P., Visser, M. and Weinfurtner, S.: **Solution generating theorems: Perfect fluid spheres and the TOV equation**, arXiv:gr-qc/0609099 (Marcel Grossmann11).
- [25] Bondi, H.: **Spherically symmetrical models In General Relativity**, *Mon. Not. Roy. Astron. Soc.* **107** (1947) 410.
Massive spheres in general relativity, *Mon. Not. Roy. Astron. Soc.* **282** (1964) 303-317.
- [26] Borowski, E.J., Borwein, J.M.: **Collins Dictionary of Mathematics**, Pages 141, 149.
ISBN 0-00-434347-6.

- [27] Buchdahl, H. A.: **General Relativistic fluid spheres**, Phys. Rev. 116 (1959)1027-1034; **General Relativistic fluid spheres II: general inequalities for regular spheres**, Ap. J. 146 (1966) 275-281.
- [28] Delgaty, M. S. R. and Lake, K.: **Physical acceptability of isolated, static, spherically symmetric, perfect fluid solutions of Einstein's equations**, Comput. Phys.Commun. 115 (1998) 395 [arXiv:gr-qc/9809013].
- [29] Einstein, A.: **On the Electrodynamics of Moving Bodies** [Online].(n.d.). Available from: <http://bavard.fourmilab.ch/etexts/einstein/specrel/specrel.pdf> [2011, February 26]
- [30] Finch, M. R. and Skea, J. E. F.: **A review of the relativistic static fluid sphere**, 1998, unpublished.<http://www.dft.if.uerj.br/usuarios/JimSkea/papers/pfrev.ps>.
- [31] **Iso** [Online].(n.d.). Available from: <http://dict.longdo.com/search/iso>. [2011, February 3]
- [32] Lake, K.: **All static spherically symmetric perfect fluid solutions of Einstein's Equations**, Phys. Rev. D 67 (2003) 104015 [arXiv:gr-qc/0209104].
- [33] Martin, D. and Visser, M.: **Algorithmic construction of static perfect fluid spheres**, Phys. Rev. D 69 (2004)104028 [arXiv:gr-qc/0306109].
- [34] Martin, D. and Visser, M.: **Bounds on the interior geometry and pressure profile of static fluid spheres**, Class. Quant. Grav. 20 (2003) 3699 [arXiv:grqc/0306038].
- [35] Max, M.: **Image:BernoullisLawDerivationDiagram.png** [Online].(n.d.). Available from: <http://commons.wikimedia.org/wiki/Image:BernoullisLawDerivationDiagram.png>. [2011, February 3]
- [36] Rahman, S. and Visser, M.: **Spacetime geometry of static fluid spheres**, Class.Quant. Grav. 19 (2002) 935 [arXiv:gr-qc/0103065].
- [37] Stephani,H., Kramer, D., MacCallum, M., Hoenselaers, C. and Herlt, E.: **Exact solutions of Einstein's field equations**, (Cambridge University Press, 2003).
- [38] Waner S., **Lecture 12: The Stress Tensor and the Relativistic Stress-Energy Tensor**[Online].(n.d.). Available from: http://people.hofstra.edu/Stefan_Waner/diff_geom/Sec12.html. [2011, February 3]
- [39] Weisstein, Eric, W.: **Spheric Section**[Online].(n.d.). Available from: <http://mathworld.wolfram.com/SphericSection.html>. [2011, February 3]
- [40] Wyman, M.: **Radially symmetric distributions of matter**, Phys. Rev. 75 (1949) 1930.



ภาคผนวก

ศูนย์วิทยทรัพยากร จุฬาลงกรณ์มหาวิทยาลัย



ภาคผนวก ก

ศูนย์วิทยทรัพยากร จุฬาลงกรณ์มหาวิทยาลัย

ตัวอย่างเมตริกของทรงกลมของไนล์สมบูรณ์ในพิกัดไอเซทรอปีจากตารางของ Kayll Lake

ชื่อ	เมตริก
Minkowski	$ds^2 = -dt^2 + \{dr^2 + r^2 d\Omega^2\}$
S1	$ds^2 = -r^4 dt^2 + \{dr^2 + r^2 d\Omega^2\}$
K-O III	$ds^2 = -A(1+ar^2)^2 dt^2 + \{dr^2 + r^2 d\Omega^2\}$
N-P-V Ia $\sqrt{2} < n \leq 2$	$ds^2 = -\left(ar^{\frac{1+x}{2}} + br^{\frac{1-x}{2}}\right)^2 \left(Ar^{\frac{1+n}{2}} + Br^{\frac{1-n}{2}}\right)^{-2} dt^2$ $+ \left(Ar^{\frac{1+n}{2}} + Br^{\frac{1-n}{2}}\right)^{-2} \{dr^2 + r^2 d\Omega^2\}$! $\ddot{\text{}}_{\text{}} \quad x = \sqrt{2n^2 - 4}$
N-P-V Ib $n = \sqrt{2}$	$ds^2 = -(a + b \ln r)^2 \left(Ar^{\frac{1}{\sqrt{2}}} + Br^{-\frac{1}{\sqrt{2}}}\right)^{-2} dt^2$ $+ \left(Ar^{\frac{1}{\sqrt{2}}} + Br^{-\frac{1}{\sqrt{2}}}\right)^{-2} \{dr^2 + r^2 d\Omega^2\}$
N-P-V IC $0 < n < \sqrt{2}$	$ds^2 = -\left(ar^{\frac{n}{2}} + br^{-\frac{n}{2}}\right)^2 r^4 \left[A \cos\left(\frac{\chi}{2} \ln r\right) + B \sin\left(\frac{\chi}{2} \ln r\right)\right]^2 dt^2$ $+ \left(Ar^{\frac{1+n}{2}} + Br^{\frac{1-n}{2}}\right)^{-2} \{dr^2 + r^2 d\Omega^2\}$! $\ddot{\text{}}_{\text{}} \quad \chi = \sqrt{4 - 2n^2}$
N-P-V IIa $0 \geq k > -2 + \sqrt{2}$	$ds^2 = -\left(\frac{1-\alpha}{1+\alpha}\right)^2 \frac{1}{4d^2} \left(\frac{r}{a}\right)^{2-2n+k} \left[(c+d) - (c-d) \left(\frac{r}{a}\right)^{2n}\right]^2 dt^2$ $+ (1+\alpha)^4 \left(\frac{r}{a}\right)^k \{dr^2 + r^2 d\Omega^2\}$! $\ddot{\text{}}_{\text{}} \quad c = 2 + 3k + \frac{3}{4}k^2, \quad d = n(k+2), \quad n = \sqrt{1 + 2k + \frac{1}{2}k^2}, \quad \alpha = \frac{-k}{k+4} = \frac{m}{2a}$

ជំនួយ	លម្អទិន្នន័យ
N-P-V IIb $k = -2 + \sqrt{2}$	$ds^2 = -\left(\frac{1-\alpha}{1+\alpha}\right)^2 \left(\frac{r}{a}\right)^{\sqrt{2}} \left[1 + \frac{\ln a - \ln r}{2\sqrt{2}}\right]^2 dt^2$ $+ (1+\alpha)^4 \left(\frac{r}{a}\right)^{-2+\sqrt{2}} \{dr^2 + r^2 d\Omega^2\}$ $\text{ដើម្បី } \alpha = \frac{2-\sqrt{2}}{2+\sqrt{2}}$
N-P-V IIc $-2 + \sqrt{2} > k \geq -2$	$ds^2 = -\left(\frac{1-\alpha}{1+\alpha}\right)^2 \left(\frac{r}{a}\right)^{2+k} \cos^{-2} \Phi \cos^2 \left[n_1 \ln \left(\frac{r}{a}\right) + \Phi\right]^2 dt^2$ $+ (1+\alpha)^4 \left(\frac{r}{a}\right)^k \{dr^2 + r^2 d\Omega^2\}$ $\text{ដើម្បី } n_1 = \sqrt{-1 - 2k - \frac{k^2}{2}}, \tan \Phi = \frac{2 + 3k + \frac{3k^2}{4}}{n_1(k+2)}, \alpha = \frac{-k}{k+4} = \frac{m}{2a}$
Nariai III	$ds^2 = -\left[\frac{Ar^2 + B}{q}\right]^q dt^2 + \left[\frac{Ar^2 + B}{q}\right]^{qk} \{dr^2 + r^2 d\Omega^2\}$ $\text{ដើម្បី } k \neq -1, k \neq 0 \text{ និង } q = \frac{2(1+k)}{k^2 - 2k - 1}$
Nariai IV	$ds^2 = -A \cos^2 \left(a - \frac{\sqrt{2}M}{4} r^2\right) \cos^{-2} \left(b + \frac{M}{4} r^2\right) dt^2$ $+ A \cos^{-2} \left(b + \frac{M}{4} r^2\right) \{dr^2 + r^2 d\Omega^2\}$
Nariai VI $\alpha > -1$	$ds^2 = -D \left(\frac{ar^p + br^{-p}}{Ar^q + Br^{-q}}\right)^2 dt^2 + D (Ar^{1+q} + Br^{1-q})^{-2} \{dr^2 + r^2 d\Omega^2\}$ $\text{ដើម្បី } p = \sqrt{1+\alpha} \text{ និង } q = \sqrt{1+\frac{\alpha}{2}}$

ឈុំ	ឯកទិន្នន័យ
Nariai VII $-1 > \alpha > -2$	$ds^2 = -D \left(\frac{a \cos(p \ln r) + b \sin(p \ln r)}{Ar^q + Br^{-q}} \right) dt^2 + D (Ar^{1+q} + Br^{1-q})^{-2} \{dr^2 + r^2 d\Omega^2\}$ <p style="text-align: center;">ដើម្បី $p = \sqrt{-1-\alpha}$ និង $q = \sqrt{1+\frac{\alpha}{2}}$</p>
Nariai VIII $\alpha < -2$	$ds^2 = -D \left(\frac{a \cos(p \ln r) + b \sin(p \ln r)}{A \cos(q \ln r) + B \sin(q \ln r)} \right)^2 dt^2 + Dr^{-2} (A \cos(q \ln r) + B \sin(q \ln r))^{-2} \{dr^2 + r^2 d\Omega^2\}$ <p style="text-align: center;">ដើម្បី $p = \sqrt{-1-\alpha}$ និង $q = \sqrt{-\left(1+\frac{\alpha}{2}\right)}$</p>
Nariai IX $\alpha = -1$	$ds^2 = -D \left(\frac{a + b \ln r}{Ar^{\frac{1}{\sqrt{2}}} + Br^{-\frac{1}{\sqrt{2}}}} \right)^2 dt^2 + Dr^{-2} \left(Ar^{\frac{1}{\sqrt{2}}} + Br^{-\frac{1}{\sqrt{2}}} \right)^{-2} \{dr^2 + r^2 d\Omega^2\}$
Nariai X $\alpha = -2$	$ds^2 = -D \left(\frac{a \cos \ln r + b \sin \ln r}{A + B \ln r} \right)^2 dt^2 + Dr^{-2} (A + B \ln r)^{-2} \{dr^2 + r^2 d\Omega^2\}$
Buch2	$ds^2 = -\frac{(1-f)^2}{(1+f)^2} dt^2 + (1+f)^4 \{dr^2 + r^2 d\Omega^2\}$ <p style="text-align: center;">ដើម្បី $f = \frac{a}{2\sqrt{1+kr^2}}$</p>
Burl I	$ds^2 = -A (1+r^2)^{\frac{4(a+1)}{2a^2+4a+1}} dt^2 + (1+r^2)^{\frac{4a}{2a^2+4a+1}} \{dr^2 + r^2 d\Omega^2\}$
Burl II	$ds^2 = -A \sqrt[3]{\frac{(a+r^2)^2}{\left(a+\frac{3+\sqrt{3}}{2}+r^2\right)\left(a+\frac{3-\sqrt{3}}{2}+r^2\right)}} dt^2 + B \left(\frac{a+\frac{3+\sqrt{3}}{2}+r^2}{a+\frac{3-\sqrt{3}}{2}+r^2} \right)^{\frac{2}{3}} \{dr^2 + r^2 d\Omega^2\}$

ឈុំ	ឯកទិន្នន័យ
Kuch71II	$ds^2 = - \left(A e^{\frac{1+\sqrt{2}}{4} Ar^2} + B e^{\frac{1-\sqrt{2}}{4} Ar^2} \right)^2 dt^2 + C e^{\frac{1}{2} Ar^2} \{ dr^2 + r^2 d\Omega^2 \}$
Kuch71b	$ds^2 = -ar^{2\sqrt{2s^2-\frac{1}{2}}} dt^2 + \frac{br^{4s-2-2\sqrt{2s^2-\frac{1}{2}}}}{cr^{8s} + 2\sqrt{cd}r^{4s} + d} \{ dr^2 + r^2 d\Omega^2 \}$
Kuch5 I	$ds^2 = -r^4 e^{Ar(1-\sqrt{2})} \{ CF(\delta; 3; A\sqrt{2}r) + D[-\frac{1}{2A^2r^2} + \frac{2-\sqrt{2}}{4Ar} + \frac{1}{2}(\delta-1)(\delta-2)F(\delta; 3; A\sqrt{2}r) \times \ln(A\sqrt{2}r) + \sum_{k=1}^{\infty} \frac{(\delta-2)(\delta-1)\delta(\delta+1)...(\delta+k-1)}{2 \cdot 3 \cdot 4 ... (2+k) \cdot k!} (A\sqrt{2}r)]^2 dt^2 + Be^{Ar} \{ dr^2 + r^2 d\Omega^2 \}$ $\text{ឯក } \delta = \frac{1}{2}(3 + \sqrt{2})$
Kuch5 IV	$ds^2 = -r^4 e^{-\sqrt{2}Ar^4} \left[CF\left(\frac{3-\sqrt{2}}{4}; \frac{3}{2}; \frac{A}{\sqrt{2}}r^4\right) + \frac{D}{r^2} F\left(\frac{1-\sqrt{2}}{4}; \frac{1}{2}; \frac{A}{\sqrt{2}}r^4\right) \right]^2 dt^2 + Be^{Ar^2} \{ dr^2 + r^2 d\Omega^2 \}$
Kuch5 VIII	$ds^2 = -Ce^{ar^2} dt^2 + De^{-ar^2} \coth^{-2}\left(-\frac{a\sqrt{2}}{2}r^2 + A\right) \{ dr^2 + r^2 d\Omega^2 \}$
Kuch5 IX	$ds^2 = -Ar^{2\sqrt{2s^2-\frac{1}{2}}} dt^2 + \frac{r^{4s-2-2\sqrt{2s^2-\frac{1}{2}}}}{(Br^{4s}-C)^2} \{ dr^2 + r^2 d\Omega^2 \} \text{ ឯក } s > \frac{1}{2}$
Kuch5 XI	$ds^2 = -CF(r) dt^2 + D \left(B + \frac{r^{2-2A}}{2(A-1)} \right)^{-2} F(r) \{ dr^2 + r^2 d\Omega^2 \}$ $\text{ឯក } F(r) = \exp\left(2\sqrt{\frac{2A}{1-A}} \arctan \sqrt{2B(1-A)r^{2A-2} - 1}\right) \text{ ឯក } A \neq 1$

ឈុំ	ឯកទិន្នន័យ
Kuch5 XII	$ds^2 = -C \left(\frac{\sqrt{2AF(r)} - 1}{\sqrt{2AF(r)} + 1} \right)^{\sqrt{2}} dt^2$ $+ \frac{De^{2Ar^2}}{\left[F(r) \right]^2} \left(\frac{\sqrt{2AF(r)} + 1}{\sqrt{2AF(r)} - 1} \right)^{\sqrt{2}} \{ dr^2 + r^2 d\Omega^2 \}$ $\text{ឯក} F(r) = \frac{1}{2A} + Be^{Ar^2}$
Kuch5 XIII	$ds^2 = -C \left(a^2 - \frac{1}{2} \right) r^2 + B^{\frac{2a}{2a^2-1}} dt^2 + D \left(a^2 - \frac{1}{2} \right) r^2 + B^{\frac{2-2a}{2a^2-1}} \{ dr^2 + r^2 d\Omega^2 \}$
Kuch5 XV	$ds^2 = -C \left \sqrt{2F(r)} + Be^{Ar^2} - A \right ^{\frac{1}{\sqrt{2}}} e^{\frac{1}{A} F(r)} dt^2$ $+ D \left \sqrt{2F(r)} + Be^{Ar^2} - A \right ^{\frac{1}{\sqrt{2}}} e^{\frac{1}{A} [Be^{Ar^2 - F(r)}]} \{ dr^2 + r^2 d\Omega^2 \}$ $\text{ឯក} F(r) = \sqrt{\frac{1}{2} B^2 e^{2Ar^2} - AB e^{Ar^2}}$
Kuch5 XVI	$ds^2 = -C \left B\sqrt{2F(r)} + B^2 r^2 + AB \right ^{\frac{1}{\sqrt{2}}} e^{\frac{A+Br^2}{2B} F(r)} dt^2$ $+ D \left B\sqrt{2F(r)} + Br^2 + AB \right ^{\frac{1}{\sqrt{2}}} e^{Ar^2 + \frac{1}{2} Br^4 - \frac{A+Br^2}{2B} F(r)} \{ dr^2 + r^2 d\Omega^2 \}$ $\text{ឯក} F(r) = \sqrt{\frac{B^2}{2} r^4 + AB r^2 + \frac{A^2}{2} - B}$
Kuch73 I	$ds^2 = -\frac{ar^2}{\left(1+cr^{\sqrt{2}}\right)^2} dt^2 + \frac{br^{\sqrt{2}-2}}{\left(1+cr^{\sqrt{2}}\right)^2} \{ dr^2 + r^2 d\Omega^2 \}$
Kuch73 II	$ds^2 = -\frac{a}{c-r^2} dt^2 + \frac{b}{ c-r^2 ^{\sqrt{3}} (1-y)^2} \{ dr^2 + r^2 d\Omega^2 \}$ $\text{ឯក} y = \frac{d}{(c-r^2)^{\sqrt{3}}}$

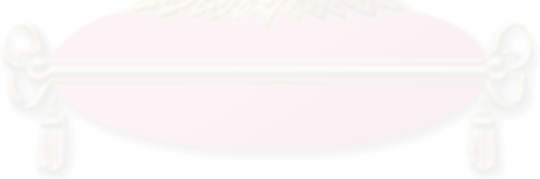
ឈើ	មេទ្រក
G-G	$ds^2 = -A \left(\frac{2r^2 - (b^2 d + 1 + c)}{2r^2 - (b^2 d + 1 - c)} \right) dt^2$ $+ \frac{B}{b^2 (2+d) - (b^2 d + 1) r^2 + r^4}$ $\left(\frac{2r^2 - (b^2 d + 1 + c)}{2r^2 - (b^2 d + 1 - c)} \right)^{-(b^2 d + 2b - 1)/c} \{dr^2 + r^2 d\Omega^2\}$
Bayin VI	$ds^2 = -AC^{-a} e^{-dar^2} dt^2 + BC^b e^{dbr^2} \{dr^2 + r^2 d\Omega^2\}$ <p style="text-align: center;">នៅក្នុង $a^2 + 2ab - b^2 = 0$</p>
Gold I	$ds^2 = -Af^{\frac{1}{b}} dt^2 + B \frac{g^2}{c^2 (1+2ag+2g^2)} f^{-\frac{1+a}{b}} \{dr^2 + r^2 d\Omega^2\}$ <p style="text-align: center;">នៅក្នុង $f = \frac{1+(a+b)g}{1+(a-b)g}, g = \frac{c}{1-dr^2}$ និង $b = \sqrt{a^2 - 2}$</p>
Gold II	$ds^2 = -A \left[\frac{(1+c)u^2 + 1 - c}{2u} \right]^{\sqrt{2c}/(1-c^2)} u^{\frac{-\sqrt{2}}{1-c^2}} dt^2$ $+ B \left[\frac{2u}{(1+c)u^2 + 1 - c} \right]^{(2+\sqrt{2c})/(1-c^2)} u^{\frac{\sqrt{2}+2c}{1-c^2}} \{dr^2 + r^2 d\Omega^2\}$
Gold III	$ds^2 = -A \left(\frac{g-1}{g+1} \right) dt^2 + B \left(1 + \frac{1}{g} \right)^2 \{dr^2 + r^2 d\Omega^2\}$ <p style="text-align: center;">នៅក្នុង $g = \cosh(a + br^2)$</p>
Stewart	$ds^2 = - \left(1 - \frac{M}{2a} \right)^2 \left(1 - \frac{Mr^2}{2a^3} \right)^2 \left(1 + \frac{M}{a} - \frac{Mr^2}{a^3} - \frac{M^2 r^2}{4a^4} \right)^{-2} dt^2$ $+ \left(1 - \frac{M}{2a} \right)^2 \left(1 - \frac{Mr^2}{2a^3} \right)^{-6} \left(1 + \frac{M}{a} - \frac{Mr^2}{a^3} - \frac{M^2 r^2}{4a^4} \right)^4 \{dr^2 + r^2 d\Omega^2\}$

ថ្លែង ទម្រង់	ទម្រិក
P-S2	$ds^2 = -A^2 \left(\frac{1-\delta}{1+\delta} \right) dt^2 + \left(\frac{(1+\delta)^2}{1+\frac{r^2}{a^2}} \right)^2 \{dr^2 + r^2 d\Omega^2\}$ <p style="text-align: center;">នៃ $\delta = k \sqrt{\frac{1+\frac{r^2}{a^2}}{1+n^2 \frac{r^2}{a^2}}}$</p>
H-B I	$ds^2 = -D^2 (Ar^2 + B)^{-\frac{a}{1-\alpha}} \left(\frac{(Ar^2 + B)^\beta}{4A\beta} + C \right) dt^2 + (Ar^2 + B)^{\frac{b}{1-\alpha}} \{dr^2 + r^2 d\Omega^2\}$ <p style="text-align: center;">នៃ $\alpha = \frac{\frac{1}{2}(b^2 - a^2) - ab + b - a}{b - a}$ និង $\beta = \frac{a+b}{1-\alpha} + 1$</p>
H-B II	$ds^2 = - \left(\frac{1-f}{1+f} \right)^2 dt^2 + (1+f) B^2 \left[\frac{A^2}{2K} \left(-\frac{1}{2f^2} + \frac{f^2}{2} - 2 \ln f \right) + C \right] \{dr^2 + r^2 d\Omega^2\}$ <p style="text-align: center;">នៃ $f = \frac{A}{\sqrt{1+Kr^2}}$</p>

គូសិរីអាជាស៊យករ
ជុលាគសក្រណ៍មហាវិទ្យាល័យ

เมตริกใหม่ที่ค้นพบของทรงกลมของไฮลสมบูรน์ในพิกัดไอโซทรอปี

ชื่อ	เมตริก
K1	$ds^2 = -A(1+ar^2)^2 dt^2 + \frac{\{dr^2 + r^2 d\Omega^2\}}{\left(\sigma + \varepsilon A \left(\frac{1}{6}a^2 r^6 + \frac{1}{2}ar^4 + \frac{1}{2}r^2\right)\right)^2}$
K2	$ds^2 = -\frac{\left(1 - \frac{a}{2\sqrt{1+kr^2}}\right)^2}{\left(1 + \frac{a}{2\sqrt{1+kr^2}}\right)^2} dt^2 + \frac{\left(1 + \frac{a}{2\sqrt{1+kr^2}}\right)^4 \{dr^2 + r^2 d\Omega^2\}}{\left(\sigma + \varepsilon \left(-\frac{a^4}{32k(1+kr^2)} - \frac{1}{4}\frac{a^2 \ln(1+kr^2)}{k} + \frac{r^2}{2}\right)\right)^2}$
K3	$ds^2 = -\frac{1}{A(1+ar^2)^2} dt^2 + \frac{A^2(1+ar^2)^4 \{dr^2 + r^2 d\Omega^2\}}{\left(\sigma + \varepsilon A \left(\frac{1}{6}a^2 r^6 + \frac{1}{2}ar^4 + \frac{1}{2}r^2\right)\right)^2}$
K4	$ds^2 = -r^{-\sqrt{6}} dt^2 + \frac{r^{2+\sqrt{6}} \{dr^2 + r^2 d\Omega^2\}}{\left(\sigma + \varepsilon \frac{r^4}{4}\right)^2}$


ศูนย์วิทยทรัพยากร
จุฬาลงกรณ์มหาวิทยาลัย



ภาคนวัตกรรม

ศูนย์วิทยทรัพยากร จุฬาลงกรณ์มหาวิทยาลัย

1. ตรวจสอบเมตริกของทรงกลมของไพลสมบูรณ์ (ตัวอย่าง คือ Buch2)

```
#-----
#Check Perfect Fluid Sphere
#-----
#Example Buch2
#-----
> restart;
>
#-----
#Data
#-----
> a:=1;
k:=1;
sigma:=1;
epsilon:=epsilon;
a := 1
k := 1
σ := 1
ε := ε

> f:=a/(2*sqrt(1+k*r^2));
f:=  $\frac{1}{2\sqrt{1+r^2}}$ 

> gtt:=(1-f)^2/(1+f)^2;
grr:=(1+f)^4;
gtt :=  $\frac{\left(1 - \frac{1}{2\sqrt{1+r^2}}\right)^2}{\left(1 + \frac{1}{2\sqrt{1+r^2}}\right)^2}$ 
grr :=  $\left(1 + \frac{1}{2\sqrt{1+r^2}}\right)^4$ 

> #-----
> zeta0(r):=sqrt(gtt);
ZB(r):=grr;
B0(r):=sqrt(1/(zeta0(r)^2*ZB(r)));
ξ0(r) :=  $\sqrt{\frac{\left(1 - \frac{1}{2\sqrt{1+r^2}}\right)^2}{\left(1 + \frac{1}{2\sqrt{1+r^2}}\right)^2}}$ 
```

$$\text{ZB}(r) := \left(1 + \frac{1}{2\sqrt{1+r^2}} \right)^4$$

$$\text{B0}(r) := \sqrt{\frac{1}{\left(1 - \frac{1}{2\sqrt{1+r^2}} \right)^2 \left(1 + \frac{1}{2\sqrt{1+r^2}} \right)^2}}$$

```

> metric := -
zeta0(r)^2*dt^2+(1/(zeta0(r)^2*B0(r)^2))*{dr^2+r^2*d*Omega^2};
metric := -  $\frac{\left( 1 - \frac{1}{2\sqrt{1+r^2}} \right)^2 dt^2}{\left( 1 + \frac{1}{2\sqrt{1+r^2}} \right)^2} + \left( 1 + \frac{1}{2\sqrt{1+r^2}} \right)^4 \{ dr^2 + r^2 d\Omega^2 \}$ 
#-----
#Check ODE
#-----
>
> CH:=((diff(zeta0(r), r))/zeta0(r))^2-(diff(B0(r), r, r)-
  (diff(B0(r), r))/r)/(2*B0(r));
CH := 
$$\frac{\left( 1 + \frac{1}{2\sqrt{1+r^2}} \right)^4 \left( \frac{\left( 1 - \frac{1}{2\sqrt{1+r^2}} \right) r}{\left( 1 + \frac{1}{2\sqrt{1+r^2}} \right)^2 (1+r^2)^{(3/2)}} + \frac{\left( 1 - \frac{1}{2\sqrt{1+r^2}} \right)^2 r}{\left( 1 + \frac{1}{2\sqrt{1+r^2}} \right)^3 (1+r^2)^3} \right)}{4 \left( 1 - \frac{1}{2\sqrt{1+r^2}} \right)^4}$$

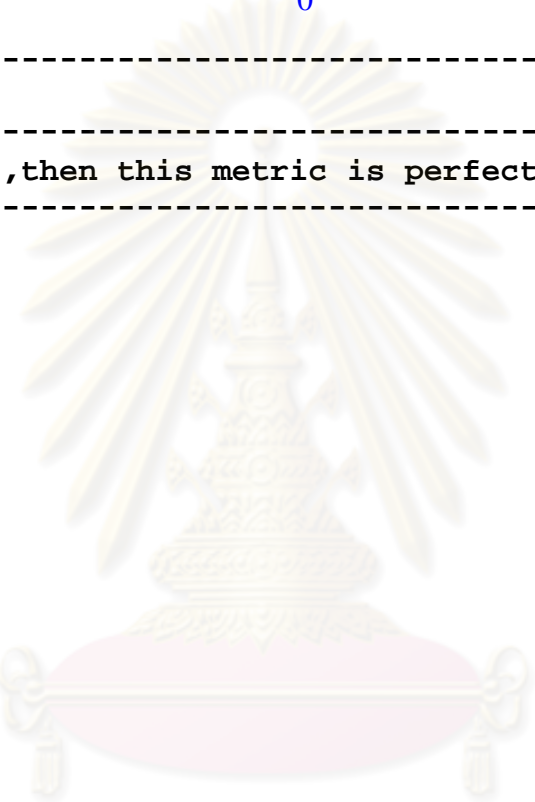

$$- \left( - \left( \frac{r}{\left( 1 - \frac{1}{2\sqrt{1+r^2}} \right)^3 \left( 1 + \frac{1}{2\sqrt{1+r^2}} \right)^2 (1+r^2)^{(3/2)}} \right)^2 + \frac{r}{\left( 1 - \frac{1}{2\sqrt{1+r^2}} \right)^2 \left( 1 + \frac{1}{2\sqrt{1+r^2}} \right)^3 (1+r^2)^{(3/2)}} \right)^2 \right) \Bigg|_4$$


$$\left( \frac{1}{\left( 1 - \frac{1}{2\sqrt{1+r^2}} \right)^2 \left( 1 + \frac{1}{2\sqrt{1+r^2}} \right)^2} \right)^{(3/2)}$$


```

$$\begin{aligned}
& \frac{3r^2}{2\left(1 - \frac{1}{2\sqrt{1+r^2}}\right)^4 \left(1 + \frac{1}{2\sqrt{1+r^2}}\right)^2 (1+r^2)^3} \\
& - \frac{2r^2}{\left(1 - \frac{1}{2\sqrt{1+r^2}}\right)^3 \left(1 + \frac{1}{2\sqrt{1+r^2}}\right)^3 (1+r^2)^3} \\
& + \frac{3r^2}{\left(1 - \frac{1}{2\sqrt{1+r^2}}\right)^3 \left(1 + \frac{1}{2\sqrt{1+r^2}}\right)^2 (1+r^2)^{(5/2)}} \\
& - \frac{1}{\left(1 - \frac{1}{2\sqrt{1+r^2}}\right)^3 \left(1 + \frac{1}{2\sqrt{1+r^2}}\right)^2 (1+r^2)^{(3/2)}} \\
& + \frac{3r^2}{2\left(1 - \frac{1}{2\sqrt{1+r^2}}\right)^2 \left(1 + \frac{1}{2\sqrt{1+r^2}}\right)^4 (1+r^2)^3} \\
& - \frac{1}{\left(1 - \frac{1}{2\sqrt{1+r^2}}\right)^2 \left(1 + \frac{1}{2\sqrt{1+r^2}}\right)^3 (1+r^2)^{(5/2)}} \\
& + \frac{1}{\left(1 - \frac{1}{2\sqrt{1+r^2}}\right)^2 \left(1 + \frac{1}{2\sqrt{1+r^2}}\right)^3 (1+r^2)^{(3/2)}} \Bigg) \quad \Bigg| \quad 2 \\
& \sqrt{\sqrt{\frac{1}{\left(1 - \frac{1}{2\sqrt{1+r^2}}\right)^2 \left(1 + \frac{1}{2\sqrt{1+r^2}}\right)^2}} - \left(\frac{r}{\left(1 - \frac{1}{2\sqrt{1+r^2}}\right)^3 \left(1 + \frac{1}{2\sqrt{1+r^2}}\right)^2 (1+r^2)^{(3/2)}} \right.} \\
& \left. + \frac{r}{\left(1 - \frac{1}{2\sqrt{1+r^2}}\right)^2 \left(1 + \frac{1}{2\sqrt{1+r^2}}\right)^3 (1+r^2)^{(3/2)}} \right)} \quad \Bigg| \quad 2
\end{aligned}$$

$$\sqrt{\sqrt{\frac{1}{\left(1 - \frac{1}{2\sqrt{1+r^2}}\right)^2 \left(1 + \frac{1}{2\sqrt{1+r^2}}\right)^2} r}} \Bigg) \Bigg) \quad \Bigg(2 \\ \sqrt{\sqrt{\frac{1}{\left(1 - \frac{1}{2\sqrt{1+r^2}}\right)^2 \left(1 + \frac{1}{2\sqrt{1+r^2}}\right)^2}}} \\ > \text{simplify(CH)}; \\ 0 \\ \#----- \\ \#END \\ \#----- \\ \#Note: If CH=0, then this metric is perfect fluid sphere. \\ \#-----$$



ศูนย์วิทยทรัพยากร
จุฬาลงกรณ์มหาวิทยาลัย

2. ประยุกต์ทฤษฎีบทที่ 1 กับ เมตริกของทรงกลมของไนลสมบูรณ์ (ตัวอย่าง คือ K-O III)

```
#-----
# Apply Theorem 1 in K-O III
#-----

>restart;
>
#-----
#Data
#-----
>gtt:=A*(1+a*r^2)^2;
grr:=1;


$$gtt := A (1 + a r^2)^2$$


$$grr := 1$$


>#
>zeta0(r):=sqrt(gtt);
ZB(r):=grr;
B0(r):=sqrt(1/(zeta0(r)^2*ZB(r)));

$$\zeta_0(r) := \sqrt{A (1 + a r^2)^2}$$


$$ZB(r) := 1$$



$$B0(r) := \sqrt{\frac{1}{A (1 + a r^2)^2}}$$


>metric := -
zeta0(r)^2*dt^2+(1/(zeta0(r)^2*B0(r)^2))*{dr^2+r^2*d*Omega^2};

$$metric := -A (1 + a r^2)^2 dt^2 + \{ dr^2 + r^2 d \Omega^2 \}$$


#-----
#Theorem 1
#-----

>zeta1(r):=1/zeta0(r);
B1(r):=B0(r);

$$\zeta_1(r) := \frac{1}{\sqrt{A (1 + a r^2)^2}}$$


$$B1(r) := \sqrt{\frac{1}{A (1 + a r^2)^2}}$$


#-----
#Check ODE
#-----
```

```

> CH1:=((diff(zeta1(r), r))/zeta1(r))^2-(diff(B1(r), r,
r)-(diff(B1(r), r))/r)/(2*B1(r));

$$CH1 := \frac{4 a^2 r^2}{(1 + a r^2)^2} - \frac{\frac{4 a^2 r^2}{\left(\frac{1}{A (1 + a r^2)^2}\right)^{(3/2)} A^2 (1 + a r^2)^6} + \frac{12 a^2 r^2}{\sqrt{\frac{1}{A (1 + a r^2)^2}} A (1 + a r^2)^4}}{2 \sqrt{\frac{1}{A (1 + a r^2)^2}}}$$


> simplify(CH1);
0

> metric1 := -
zeta1(r)^2*dt^2+(1/(zeta1(r)^2*B1(r)^2))*{dr^2+r^2*d*Omega^2};

$$metric1 := -\frac{dt^2}{A (1 + a r^2)^2} + A^2 (1 + a r^2)^4 \{ dr^2 + r^2 d \Omega^2 \}$$


#-----
#Theorem 1 (again)
#-----

> zeta2(r):=1/zeta1(r);
B2(r):=B1(r);


$$\zeta2(r) := \sqrt{A (1 + a r^2)^2}$$


$$B2(r) := \sqrt{\frac{1}{A (1 + a r^2)^2}}$$


#-----
#Check ODE
#-----

> CH2:=((diff(zeta2(r), r))/zeta2(r))^2-(diff(B2(r), r,
r)-(diff(B2(r), r))/r)/(2*B2(r));

$$CH2 := \frac{4 a^2 r^2}{(1 + a r^2)^2} - \frac{\frac{4 a^2 r^2}{\left(\frac{1}{A (1 + a r^2)^2}\right)^{(3/2)} A^2 (1 + a r^2)^6} + \frac{12 a^2 r^2}{\sqrt{\frac{1}{A (1 + a r^2)^2}} A (1 + a r^2)^4}}{2 \sqrt{\frac{1}{A (1 + a r^2)^2}}}$$


> simplify(CH2);
0

```

```

>metric2 := -
zeta2(r)^2*dt^2+(1/(zeta2(r)^2*B2(r)^2))*{dr^2+r^2*d*Omega^2};
                                         metric2 := -A (1 + a r2)2 dt2 + { dr2 + r2 d Ω2 }

#-----
#End of Apply theorem 1
#-----

```



ศูนย์วิทยทรัพยากร จุฬาลงกรณ์มหาวิทยาลัย

3. ประยุกต์ทฤษฎีบทที่ 2 กับ เมตริกของทรงกลมของไนลสมบูรณ์ (ตัวอย่าง คือ S1)

```
#-----
# Apply Theorem 2 in S1
#-----

> restart;
>
#-----
#Data
#-----
> gtt:=r^4;
grr:=1;
gtt :=  $r^4$ 
grr := 1

#-----
> zeta0(r):=sqrt(gtt);
ZB(r):=grr;
B0(r):=sqrt(1/(zeta0(r)^2*ZB(r)));
 $\zeta_0(r) := \sqrt{r^4}$ 
ZB(r) := 1
 $B_0(r) := \sqrt{\frac{1}{r^4}}$ 

> metric := -
zeta0(r)^2*dt^2+(1/(zeta0(r)^2*B0(r)^2))*{dr^2+r^2*d*Omega^2};
metric :=  $-r^4 dt^2 + \{ dr^2 + r^2 d\Omega^2 \}$ 

#-----
#Theorem 2
#-----

> Z0(r):=sigma+epsilon*int(r/B0(r)^2, r);
zeta1(r):=zeta0(r);
B1(r):=B0(r)*Z0(r);
 $Z_0(r) := \sigma + \frac{\epsilon r^6}{6}$ 
 $\zeta_1(r) := \sqrt{r^4}$ 
 $B_1(r) := \sqrt{\frac{1}{r^4}} \left( \sigma + \frac{\epsilon r^6}{6} \right)$ 

#-----
#Check ODE
#-----
```

```

> CH1:=((diff(zeta1(r), r))/zeta1(r))^2-(diff(B1(r), r,
r)-(diff(B1(r), r))/r)/(2*B1(r));

$$CHI := \frac{4}{r^2} - \left[ -\frac{4 \left( \sigma + \frac{\varepsilon r^6}{6} \right)}{\left( \frac{1}{r^4} \right)^{(3/2)} r^{10}} - \frac{4 \varepsilon}{\sqrt{\frac{1}{r^4}}} + \frac{10 \left( \sigma + \frac{\varepsilon r^6}{6} \right)}{\sqrt{\frac{1}{r^4}} r^6} + 5 \sqrt{\frac{1}{r^4}} \varepsilon r^4 \right. \\ \left. - \frac{2 \left( \sigma + \frac{\varepsilon r^6}{6} \right)}{\sqrt{\frac{1}{r^4}} r^5} + \sqrt{\frac{1}{r^4}} \varepsilon r^5 \right] \Bigg/ \left( 2 \sqrt{\frac{1}{r^4}} \left( \sigma + \frac{\varepsilon r^6}{6} \right) \right)$$


> simplify(CH1);
0

> metric1 := -
zeta1(r)^2*dt^2+(1/(zeta1(r)^2*B1(r)^2))*{dr^2+r^2*d*Omega
a^2};

$$metric1 := -r^4 dt^2 + \frac{\{dr^2 + r^2 d\Omega^2\}}{\left(\sigma + \frac{\varepsilon r^6}{6}\right)^2}$$


#-----
#Theorem 2 (again)
#-----

> Z1(r):=sigma1+epsilon1*int(r/B1(r)^2, r);
zeta2(r):=zeta1(r);
B2(r):=B1(r)*Z1(r);

$$Z1(r) := \sigma_1 - \frac{6 \varepsilon_1}{\varepsilon (6 \sigma + \varepsilon r^6)}$$


$$\zeta_2(r) := \sqrt{r^4}$$


$$B2(r) := \sqrt{\frac{1}{r^4}} \left( \sigma + \frac{\varepsilon r^6}{6} \right) \left( \sigma_1 - \frac{6 \varepsilon_1}{\varepsilon (6 \sigma + \varepsilon r^6)} \right)$$


#-----
#Check ODE
#-----

> CH2:=((diff(zeta2(r), r))/zeta2(r))^2-(diff(B2(r), r,
r)-(diff(B2(r), r))/r)/(2*B2(r));

```

$$\begin{aligned}
CH2 := & \frac{4}{r^2} \left[- \frac{4 \left(\sigma + \frac{\varepsilon r^6}{6} \right) \left(\sigma 1 - \frac{6 \varepsilon 1}{\varepsilon (6 \sigma + \varepsilon r^6)} \right)}{\left(\frac{1}{r^4} \right)^{(3/2)} r^{10}} - \frac{4 \varepsilon \left(\sigma 1 - \frac{6 \varepsilon 1}{\varepsilon (6 \sigma + \varepsilon r^6)} \right)}{\sqrt{\frac{1}{r^4}}} \right. \\
& - \frac{144 \left(\sigma + \frac{\varepsilon r^6}{6} \right) \varepsilon 1}{\sqrt{\frac{1}{r^4}} (6 \sigma + \varepsilon r^6)^2} + \frac{10 \left(\sigma + \frac{\varepsilon r^6}{6} \right) \left(\sigma 1 - \frac{6 \varepsilon 1}{\varepsilon (6 \sigma + \varepsilon r^6)} \right)}{\sqrt{\frac{1}{r^4}} r^6} \\
& + 5 \sqrt{\frac{1}{r^4}} \varepsilon r^4 \left(\sigma 1 - \frac{6 \varepsilon 1}{\varepsilon (6 \sigma + \varepsilon r^6)} \right) + \frac{72 \sqrt{\frac{1}{r^4}} \varepsilon r^{10} \varepsilon 1}{(6 \sigma + \varepsilon r^6)^2} \\
& - \frac{432 \sqrt{\frac{1}{r^4}} \left(\sigma + \frac{\varepsilon r^6}{6} \right) \varepsilon 1 r^{10} \varepsilon}{(6 \sigma + \varepsilon r^6)^3} + \frac{180 \sqrt{\frac{1}{r^4}} \left(\sigma + \frac{\varepsilon r^6}{6} \right) \varepsilon 1 r^4}{(6 \sigma + \varepsilon r^6)^2} - \left[\right. \\
& - \frac{2 \left(\sigma + \frac{\varepsilon r^6}{6} \right) \left(\sigma 1 - \frac{6 \varepsilon 1}{\varepsilon (6 \sigma + \varepsilon r^6)} \right)}{\sqrt{\frac{1}{r^4}} r^5} + \sqrt{\frac{1}{r^4}} \varepsilon r^5 \left(\sigma 1 - \frac{6 \varepsilon 1}{\varepsilon (6 \sigma + \varepsilon r^6)} \right) \\
& \left. + \frac{36 \sqrt{\frac{1}{r^4}} \left(\sigma + \frac{\varepsilon r^6}{6} \right) \varepsilon 1 r^5}{(6 \sigma + \varepsilon r^6)^2} \right] / r \Bigg] / \left(2 \sqrt{\frac{1}{r^4}} \left(\sigma + \frac{\varepsilon r^6}{6} \right) \right. \\
& \left. \left(\sigma 1 - \frac{6 \varepsilon 1}{\varepsilon (6 \sigma + \varepsilon r^6)} \right) \right)
\end{aligned}$$

> **simplify(CH2);**

0

> **metric2 := -zeta2(r)^2*dt^2+(1/(zeta2(r)^2*B2(r)^2))*{dr^2+r^2*d*Omega^2};**

$$\text{metric2} := -r^4 dt^2 + \frac{\{ dr^2 + r^2 d \Omega^2 \}}{\left(\sigma + \frac{\varepsilon r^6}{6} \right)^2 \left(\sigma 1 - \frac{6 \varepsilon 1}{\varepsilon (6 \sigma + \varepsilon r^6)} \right)^2}$$

#-----
#End of Apply theorem 2
#-----

4. ประยุกต์บทแทรก กับ เมตริกของทรงกลมของนิลสมบูรณ์ (ตัวอย่าง คือ Minkowski)

```
#-----
# Apply Corollary in Minkowski
#-----
> restart;
>
#-----
#Data
#-----
> gtt:=1;
grr:=1;
gtt := 1
grr := 1

#-----
> zeta0(r):=sqrt(gtt);
ZB(r):=grr;
B0(r):=sqrt(1/(zeta0(r)^2*ZB(r)));
 $\zeta_0(r) := 1$ 
ZB(r) := 1
B0(r) := 1

> metric := -
zeta0(r)^2*dt^2+(1/(zeta0(r)^2*B0(r)^2))*{dr^2+r^2*d*Omega^2};
metric :=  $-dt^2 + \{ dr^2 + r^2 d\Omega^2 \}$ 

#-----
#Theorem 1
#-----
> zeta1(r):=1/zeta0(r);
B1(r):=B0(r);
 $\zeta_1(r) := 1$ 
B1(r) := 1

#-----
#Check ODE
#-----
> CH1:=((diff(zeta1(r), r))/zeta1(r))^2-(diff(B1(r), r,
r)-(diff(B1(r), r))/r)/(2*B1(r));
CH1 := 0

> simplify(CH1);
0
```

```

>metric1 := -
zeta1(r)^2*dt^2+(1/(zeta1(r)^2*B1(r)^2))*{dr^2+r^2*d*Omega
a^2};

$$metric1 := -dt^2 + \{ dr^2 + r^2 d\Omega^2 \}$$


#-----
#Theorem 2
#-----

>Z1(r):=sigma1+epsilon1*int(r/B1(r)^2, r);
zeta2(r):=zeta1(r);
B2(r):=B1(r)*Z1(r);

$$Z1(r) := \sigma_1 + \frac{\varepsilon_1 r^2}{2}$$


$$\zeta_2(r) := 1$$


$$B2(r) := \sigma_1 + \frac{\varepsilon_1 r^2}{2}$$


#-----
#Check ODE
#-----

>CH2:=((diff(zeta2(r), r))/zeta2(r))^2-(diff(B2(r), r,
r)-(diff(B2(r), r))/r)/(2*B2(r));

$$CH2 := 0$$


>simplify(CH2);
0

>metric2 := -
zeta2(r)^2*dt^2+(1/(zeta2(r)^2*B2(r)^2))*{dr^2+r^2*d*Omega
a^2};

$$metric2 := -dt^2 + \frac{\{ dr^2 + r^2 d\Omega^2 \}}{\left(\sigma_1 + \frac{\varepsilon_1 r^2}{2}\right)^2}$$


#-----
#End of Apply Corollary
#-----
```

ประวัติผู้เขียนวิทยานิพนธ์

ชื่อ นางสาว กนกวรรณ ไวยรัตน์ เกิดวันอังคารที่ 7 เมษายน พ.ศ. 2530 สำเร็จการศึกษา
ระดับปริญญาตรีวิทยาศาสตรบัณฑิต (คณิตศาสตร์) คณะวิทยาศาสตร์และเทคโนโลยี
มหาวิทยาลัยธรรมศาสตร์ ในปีการศึกษา 2551 และเข้าศึกษาต่อในหลักสูตรวิทยาศาสตร
มหาบัณฑิต ภาควิชาคณิตศาสตร์ คณะวิทยาศาสตร์ จุฬาลงกรณ์มหาวิทยาลัย เมื่อ พ.ศ. 2552
ในระหว่างจัดทำวิทยานิพนธ์เล่มนี้ ได้นำเสนอผลงานทางวิชาการ ในการประชุมวิชาการ
ทางคณิตศาสตร์ ประจำปี 2554 (ครั้งที่ 16) ในวันที่ 10-11 มีนาคม 2554 ณ โรงแรมโมเมะ จังหวัด
ขอนแก่น

**ศูนย์วิทยทรัพยากร
จุฬาลงกรณ์มหาวิทยาลัย**